

# Inversão gravimétrica do relevo da Moho em coordenadas esféricas

Leonardo Uieda

Valéria C. F. Barbosa

Observatório Nacional - 2015

# 0 problema geofísico

Estimar  
um relevo

Moho, embasamento

Isolar efeito  
gravitacional

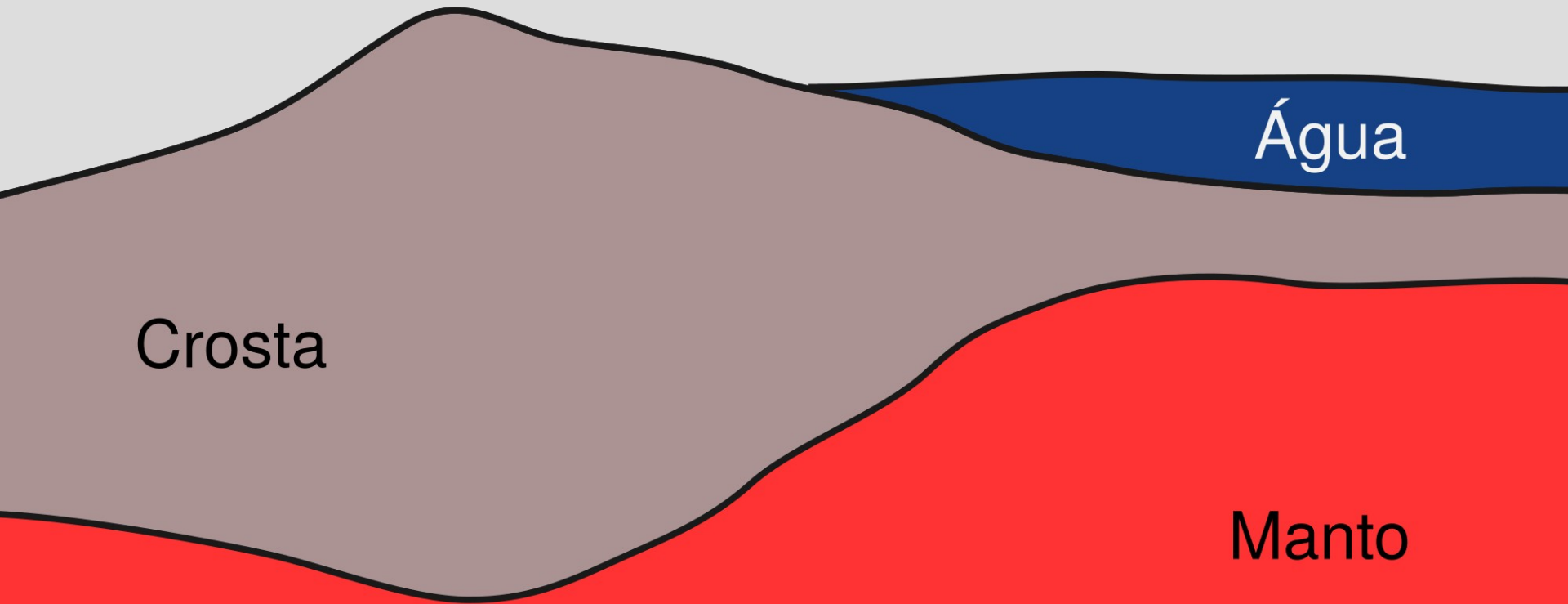
# Terra Real

● P

Água

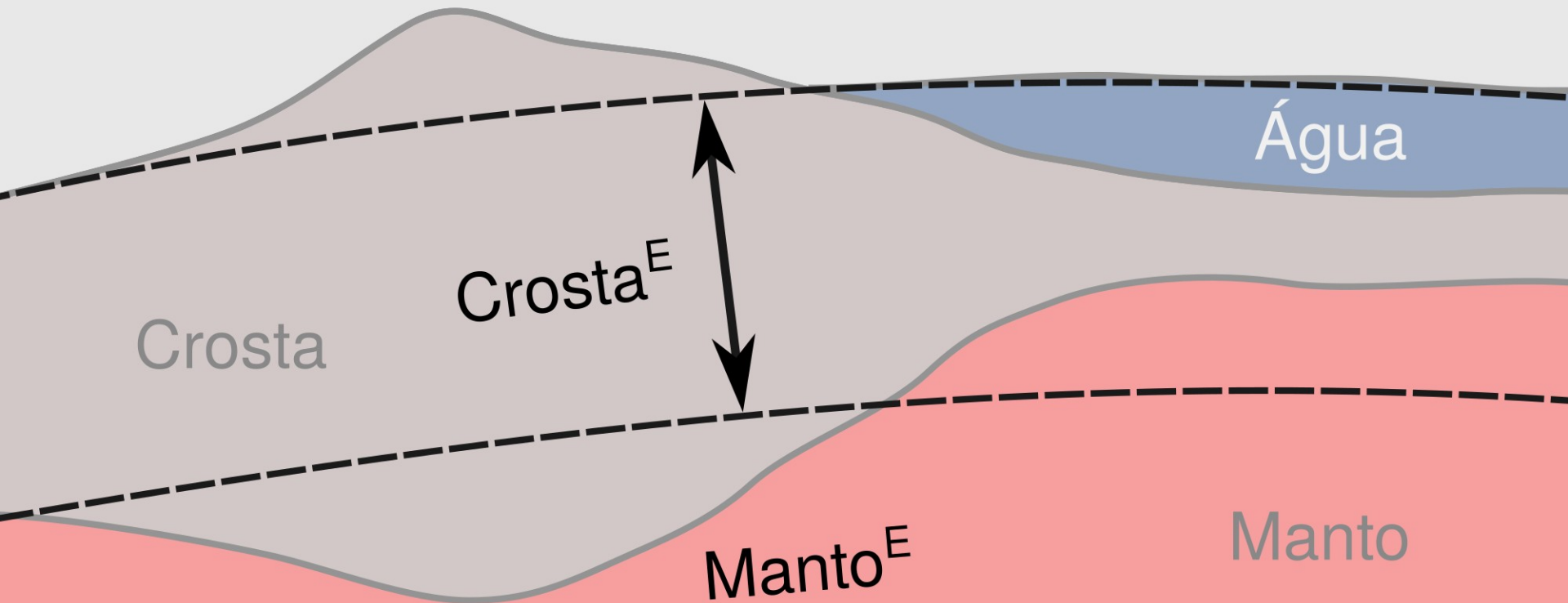
Crosta

Manto



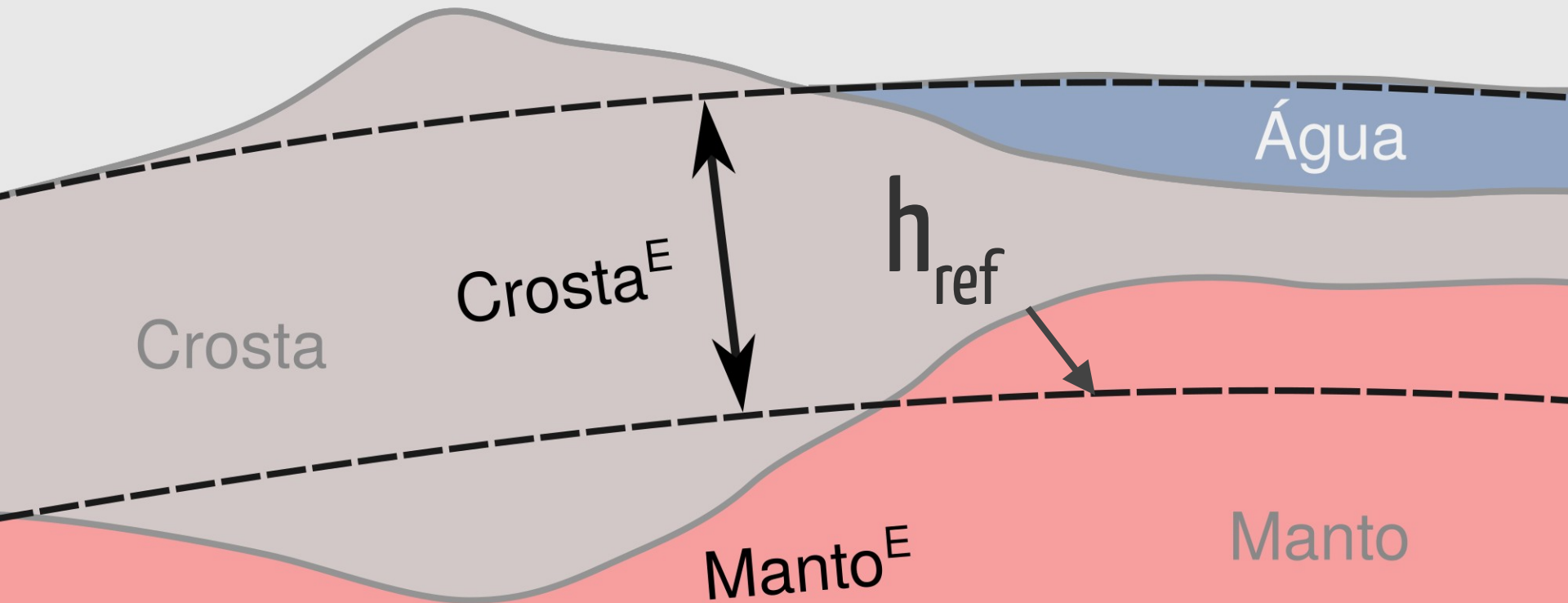
# Terra Normal

● P



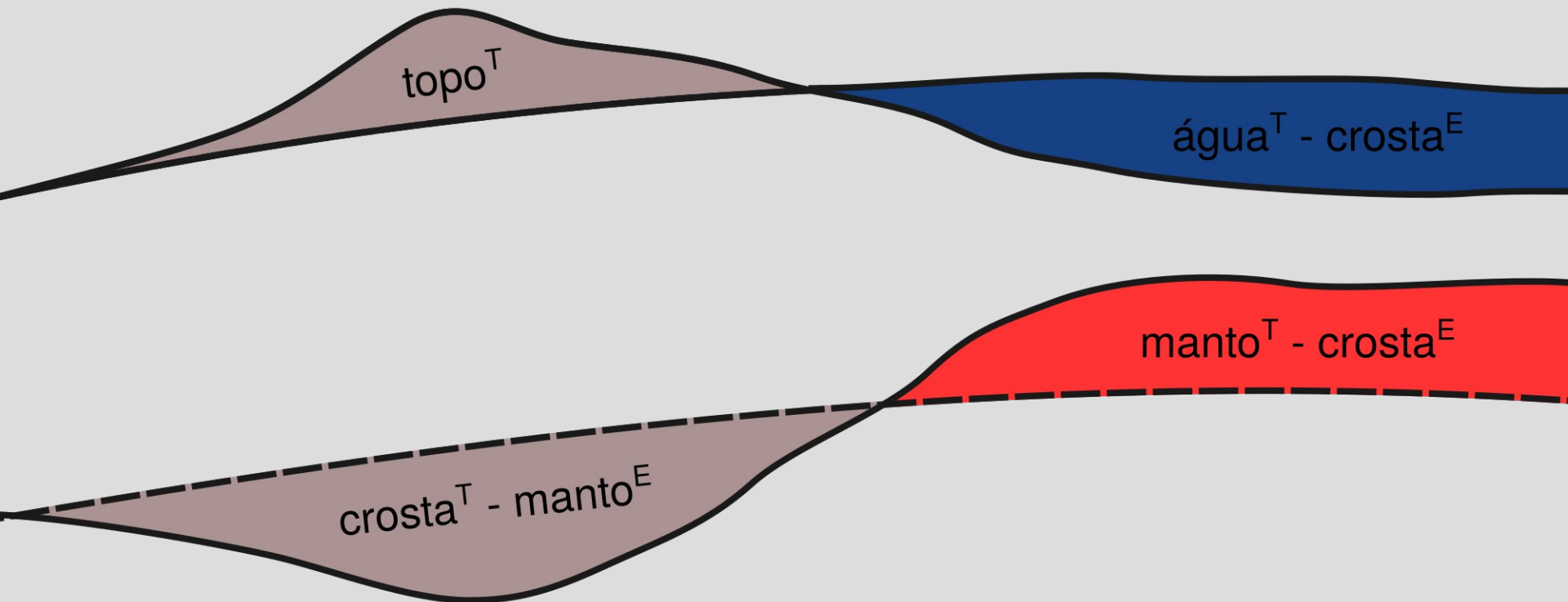
# Terra Normal

● P



# Distúrbio da gravidade

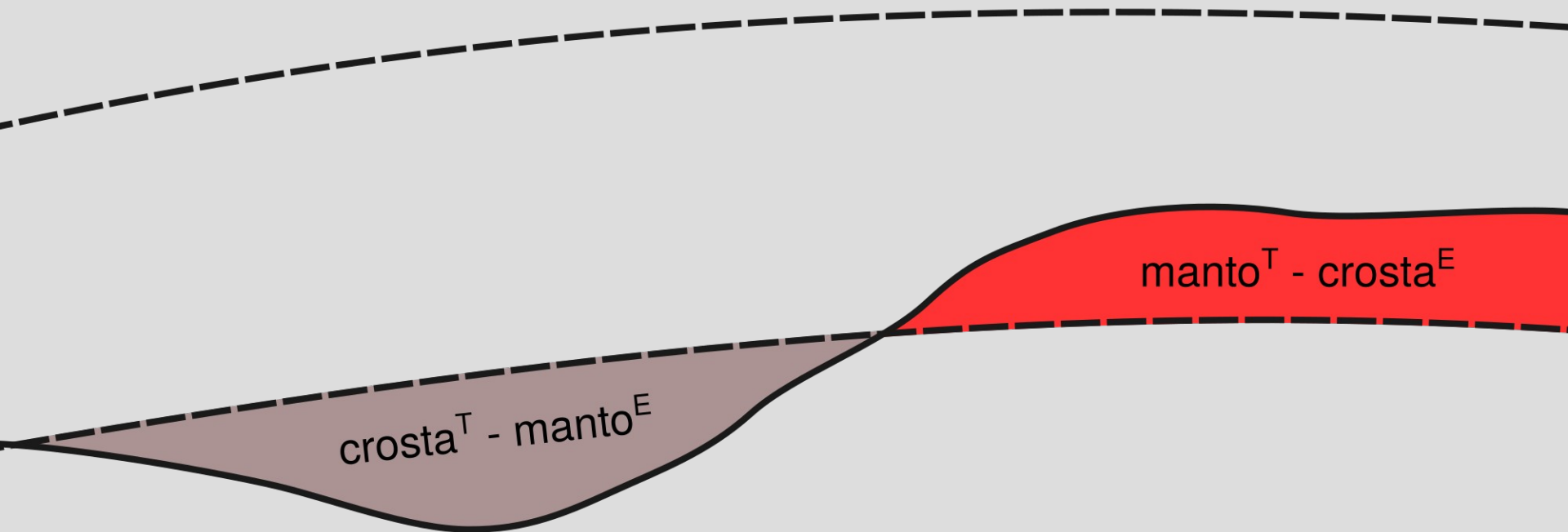
● P





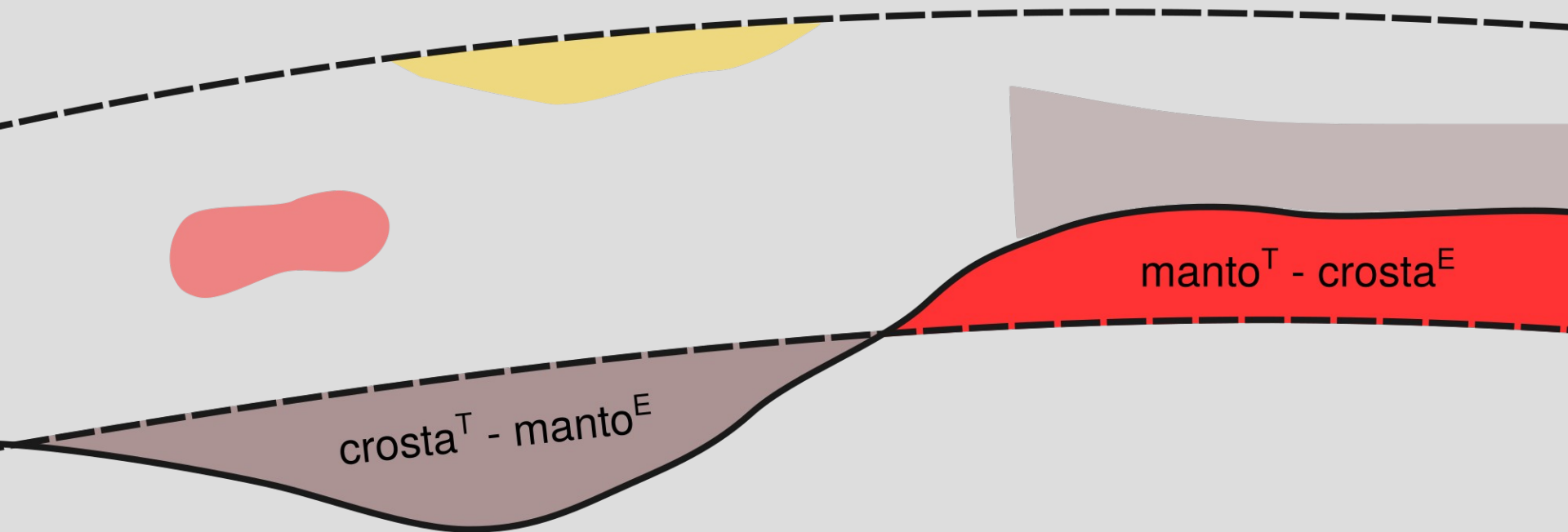
# Anomalia Bouguer

● P



# Anomalia Bouguer

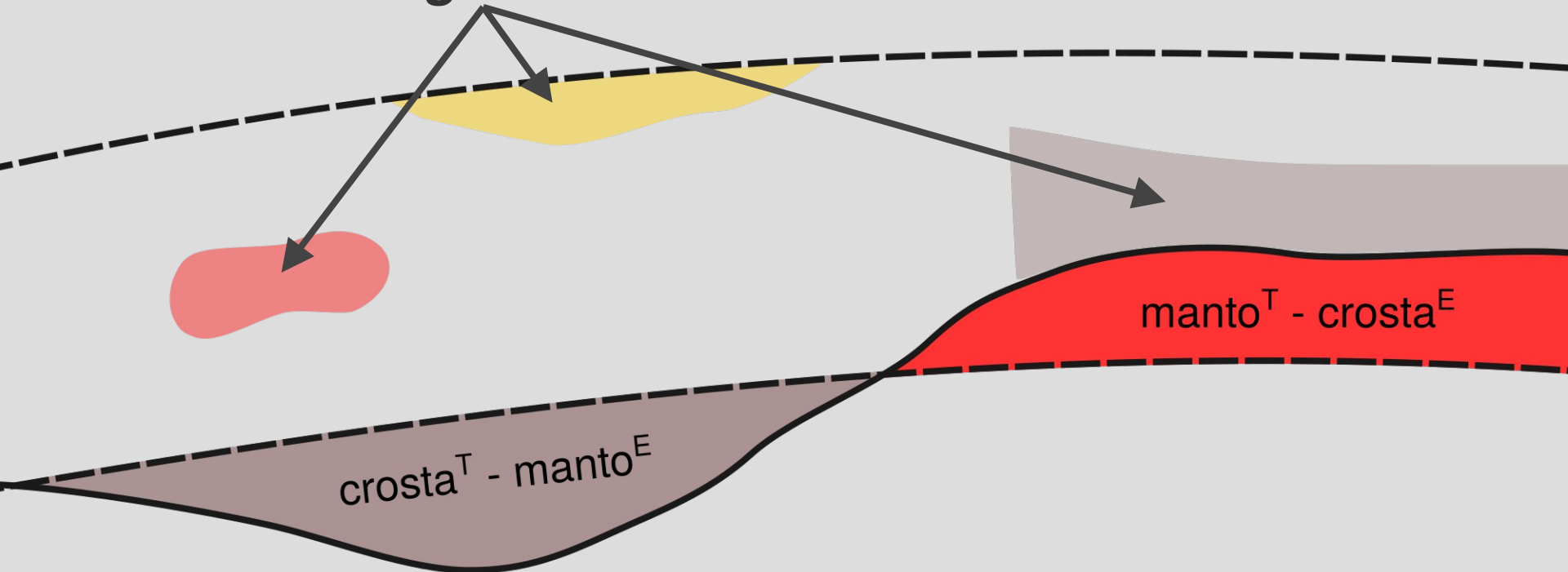
● P



# Anomalia Bouguer

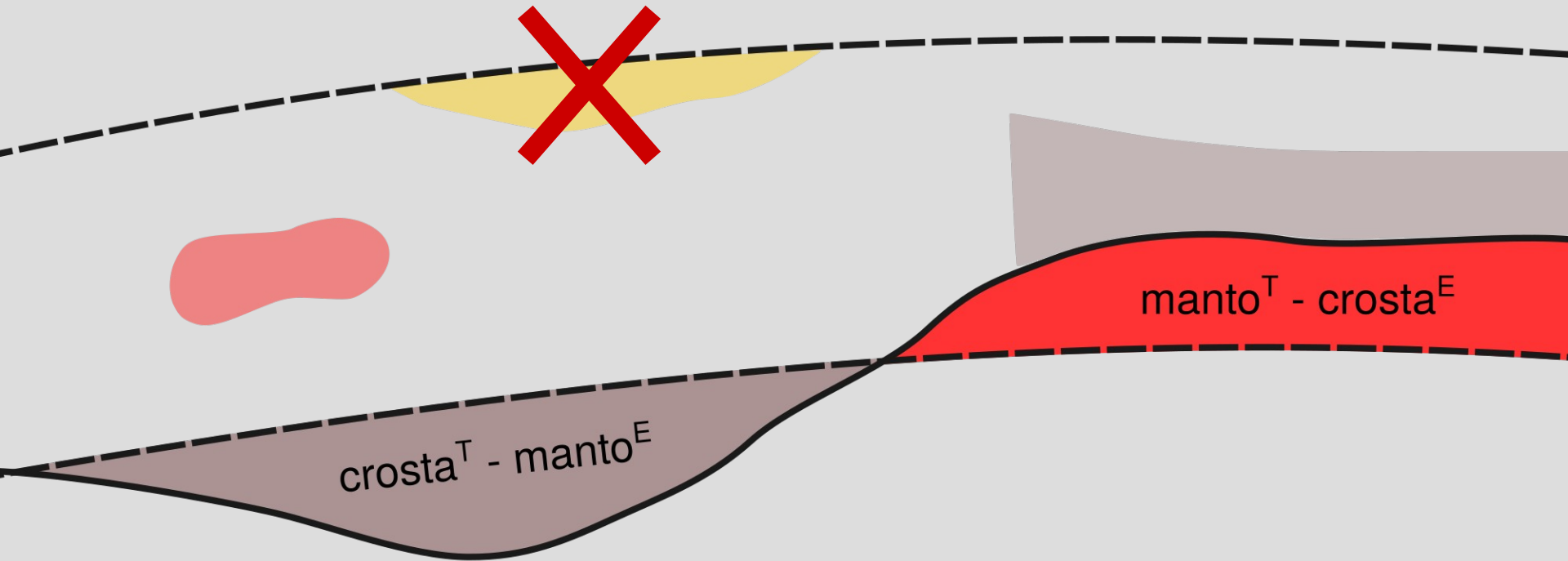
● P

Heterogeneidades

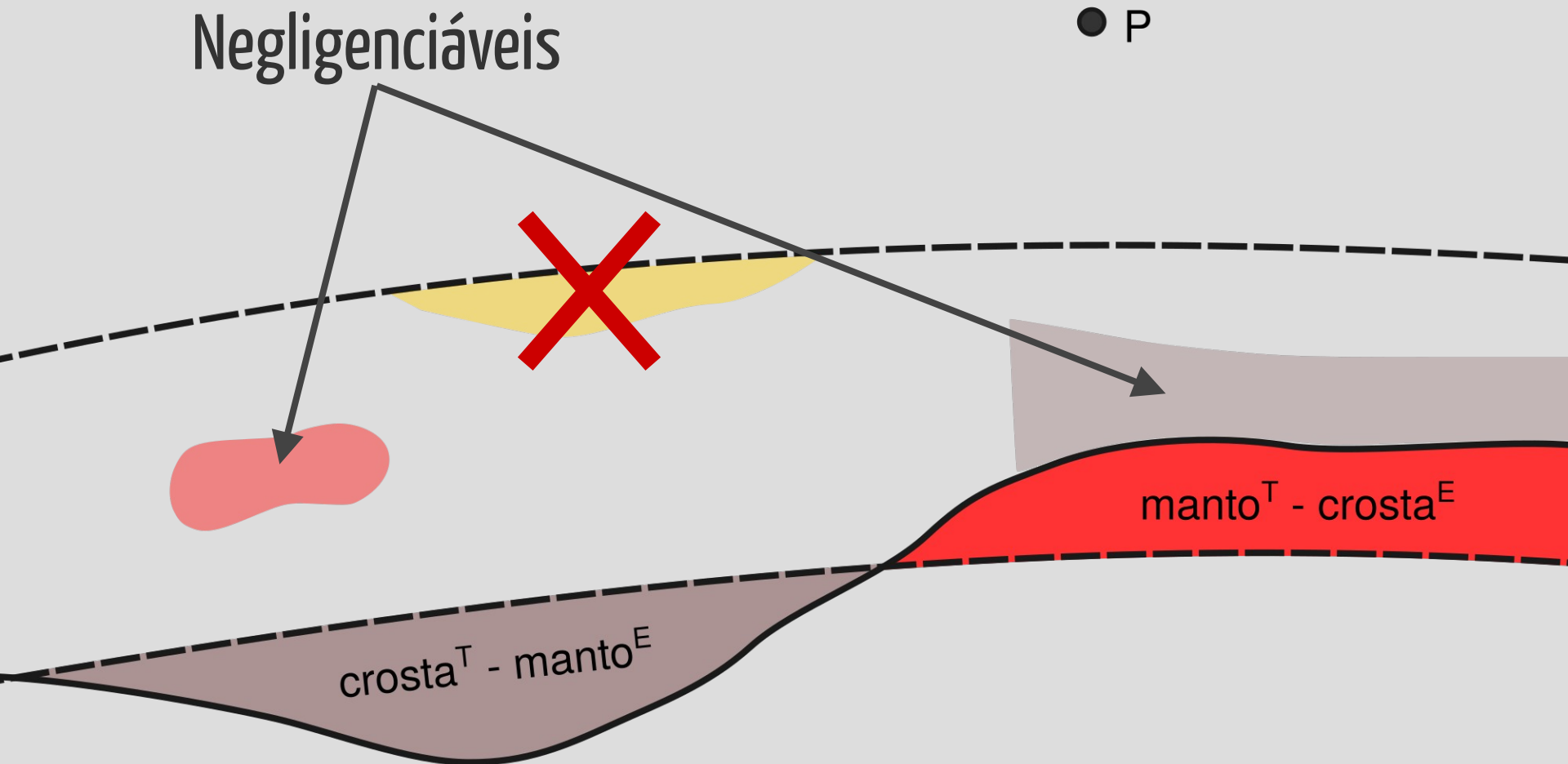


# Anomalia Bouguer

● P

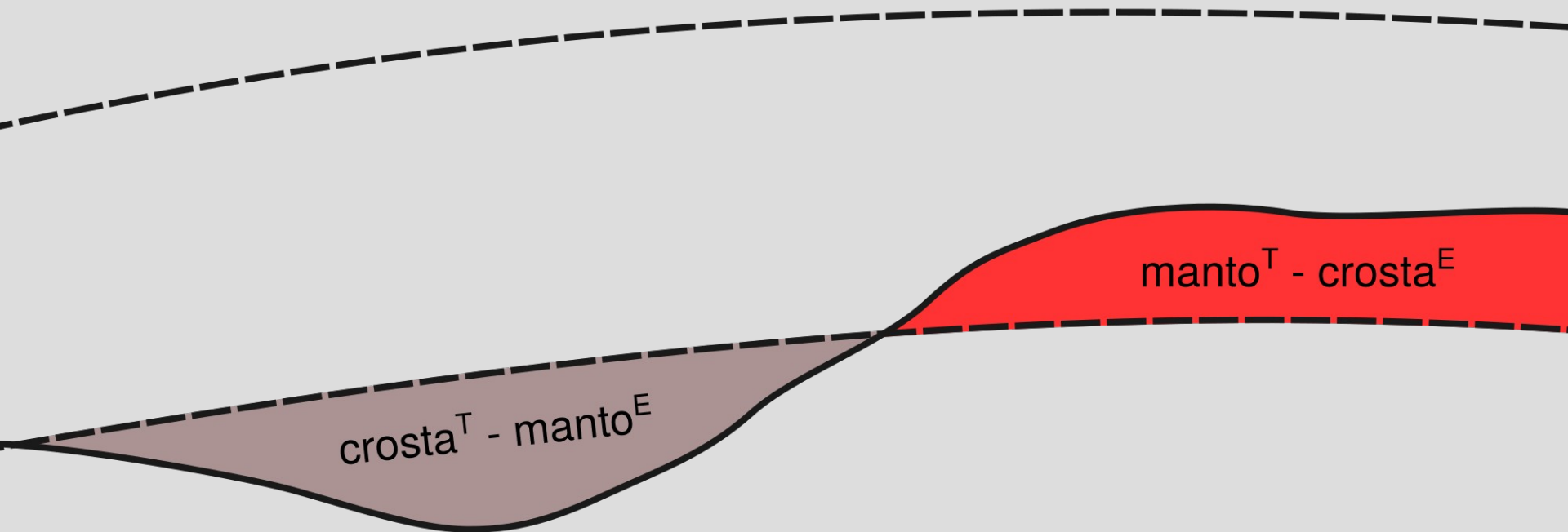


# Anomalia Bouguer



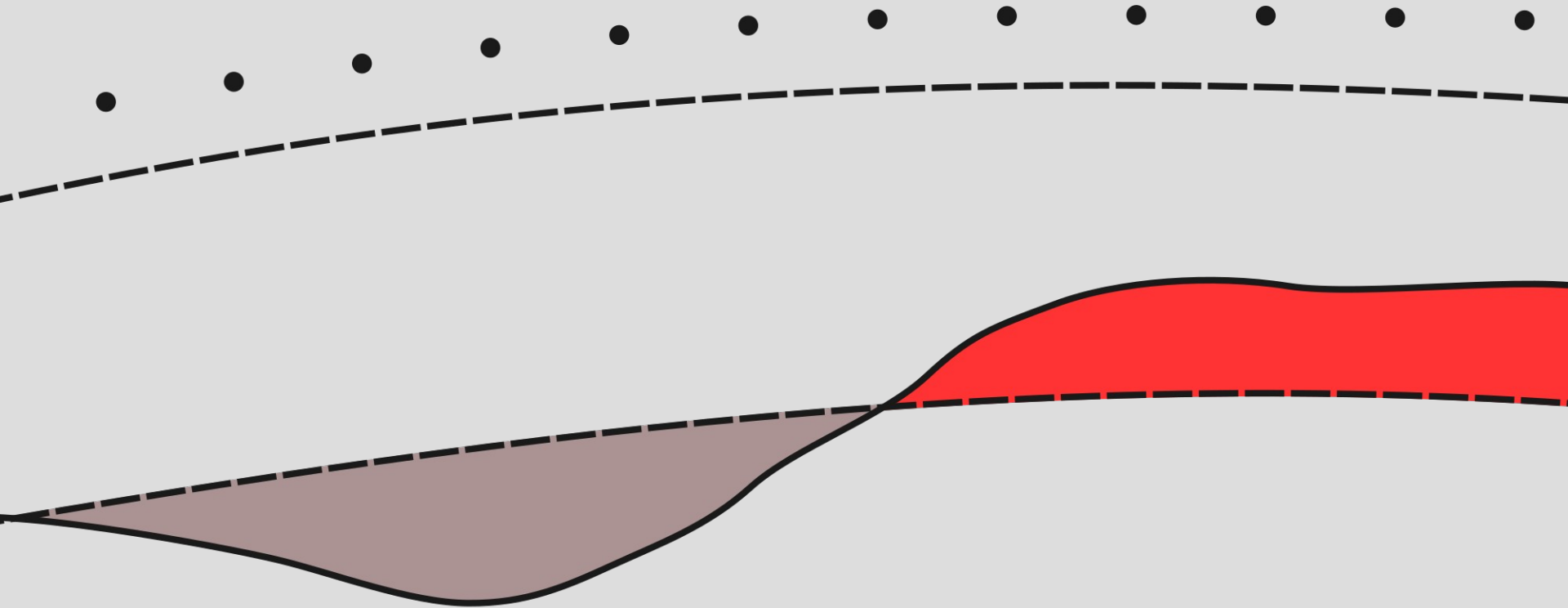
# Bouguer → Moho

● P



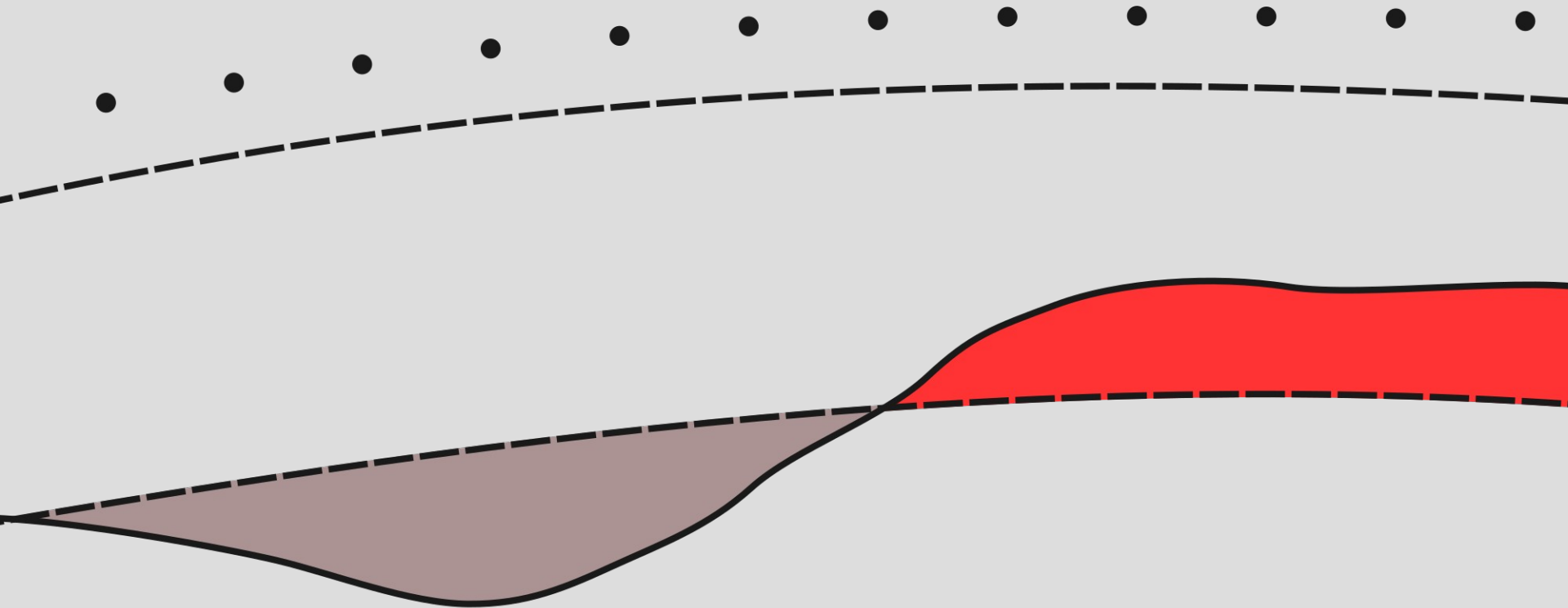
# Parametrização

# Grid de observações

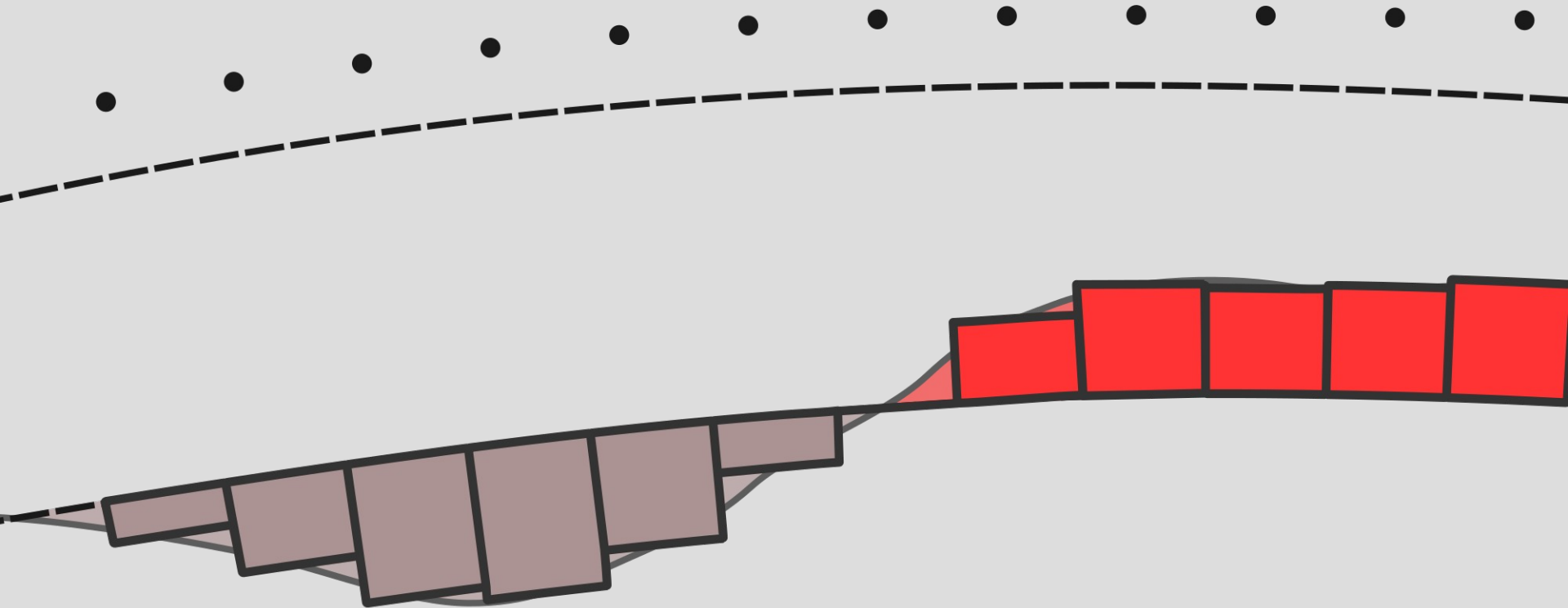




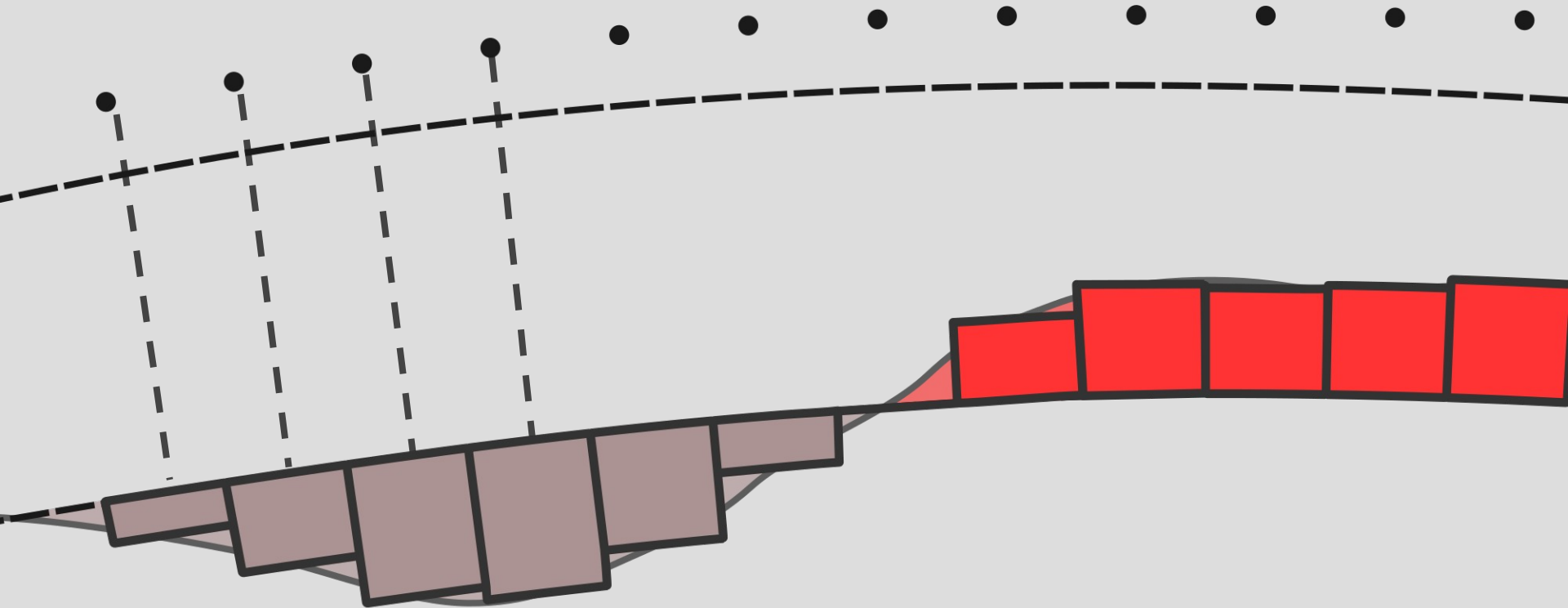
$\bar{d}^0$



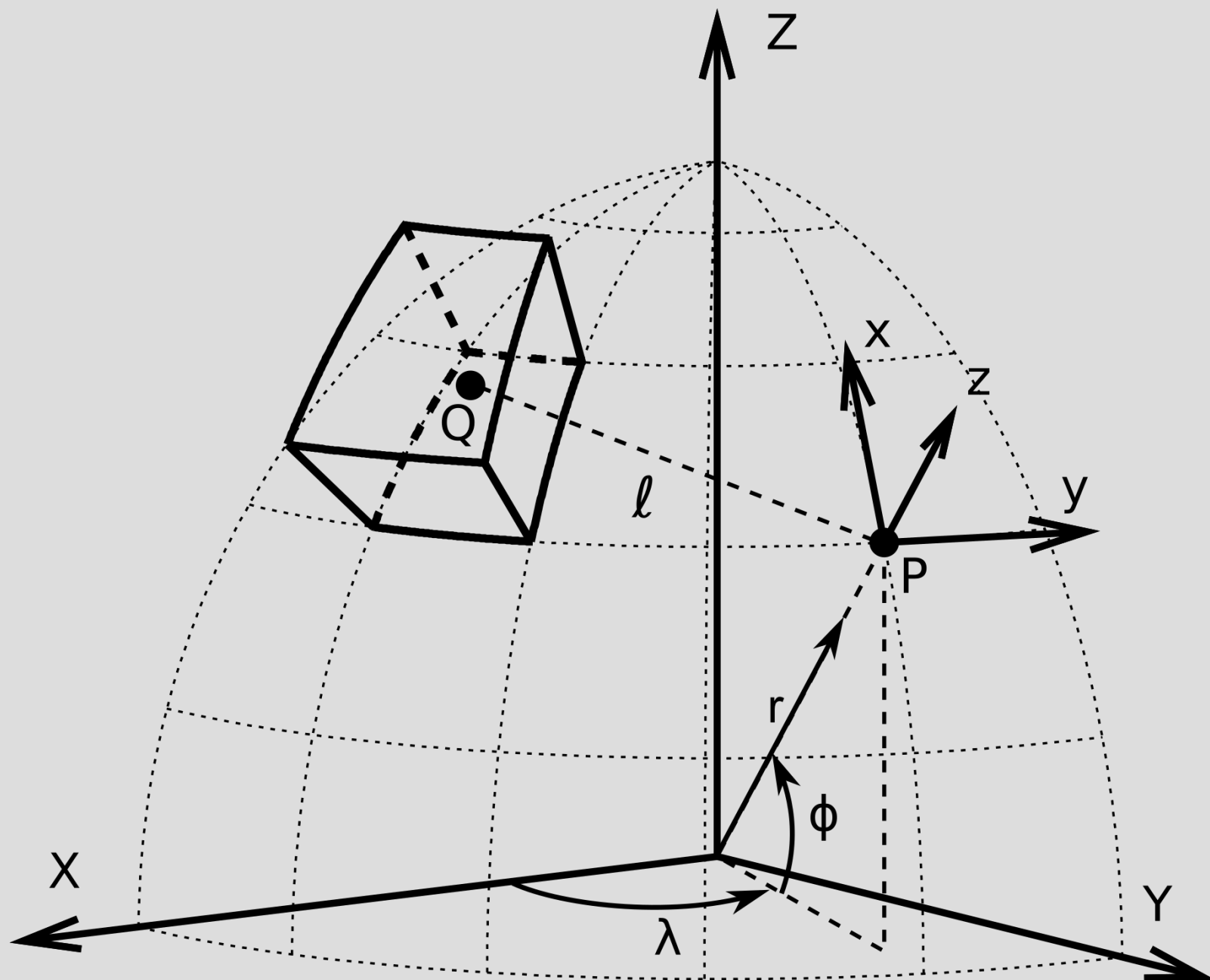
# 1 tesseroide para cada



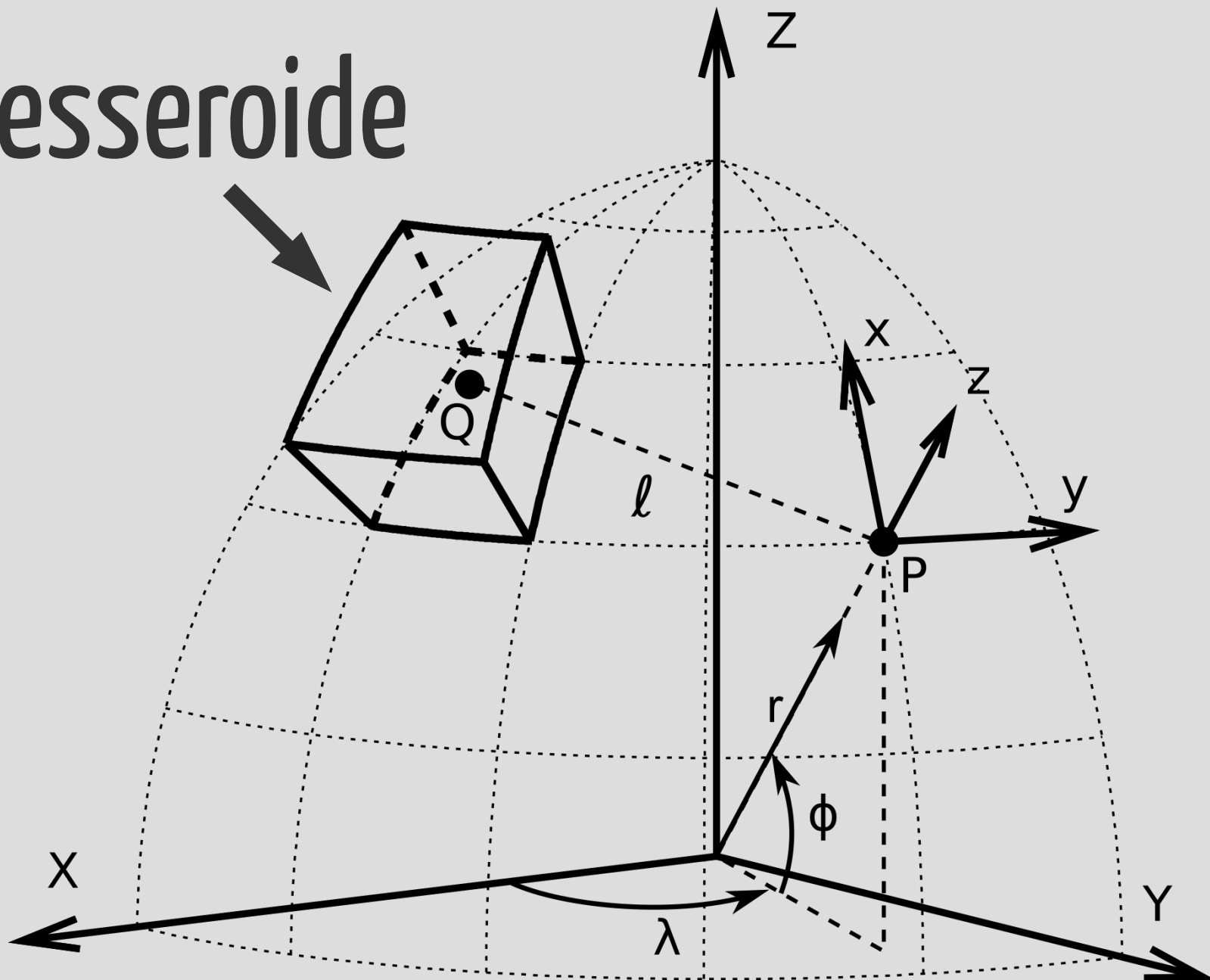
# 1 tesseroide para cada



(

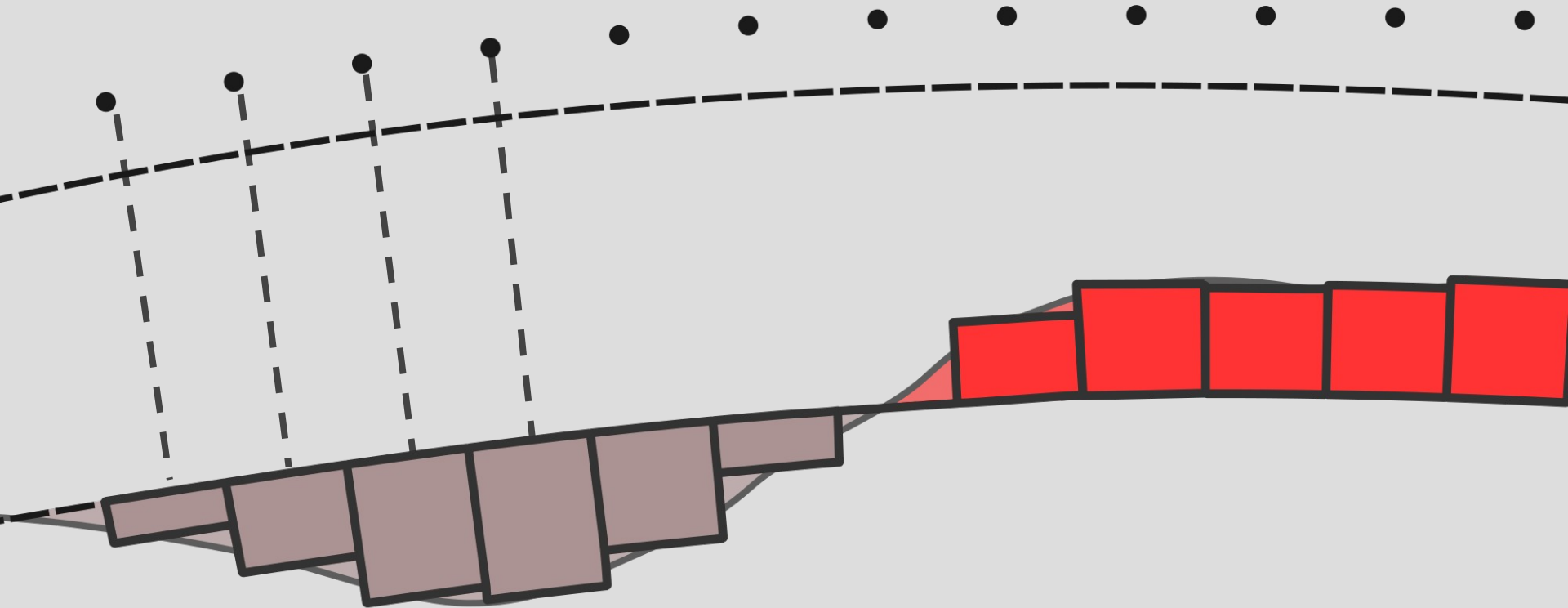


# tesseroide



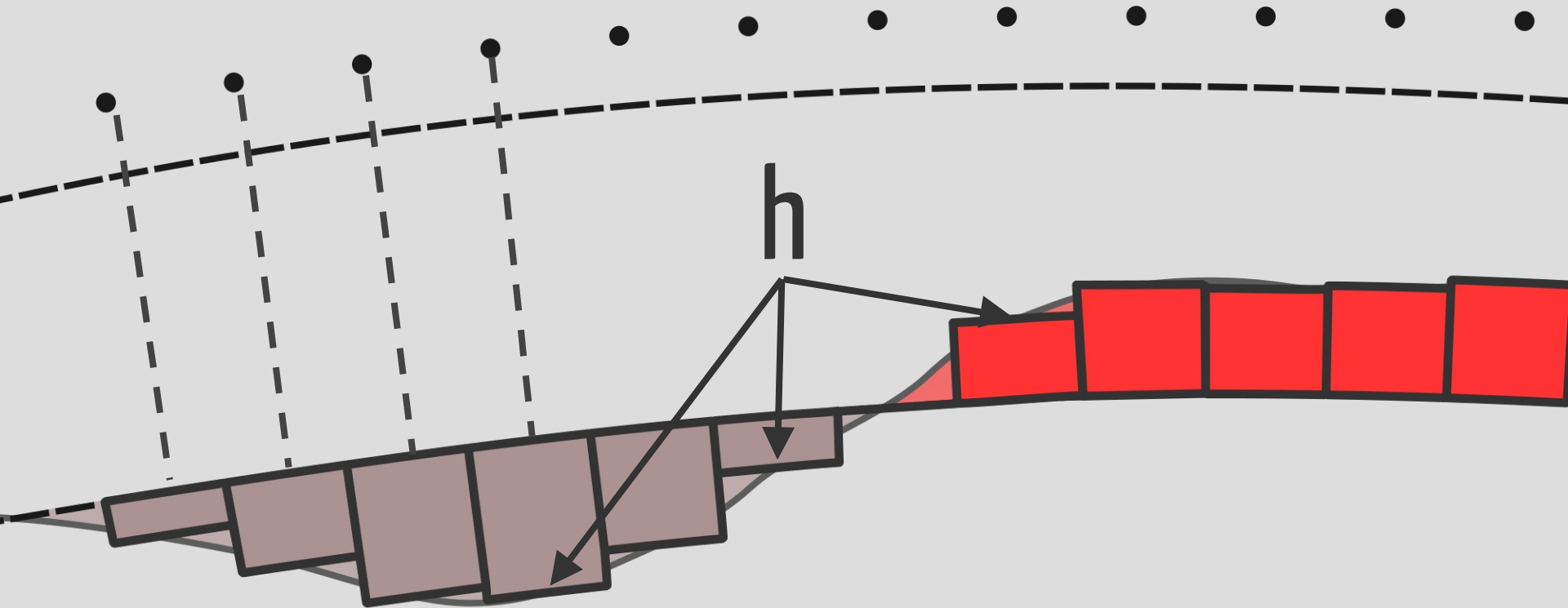


# 1 tesseroide para cada

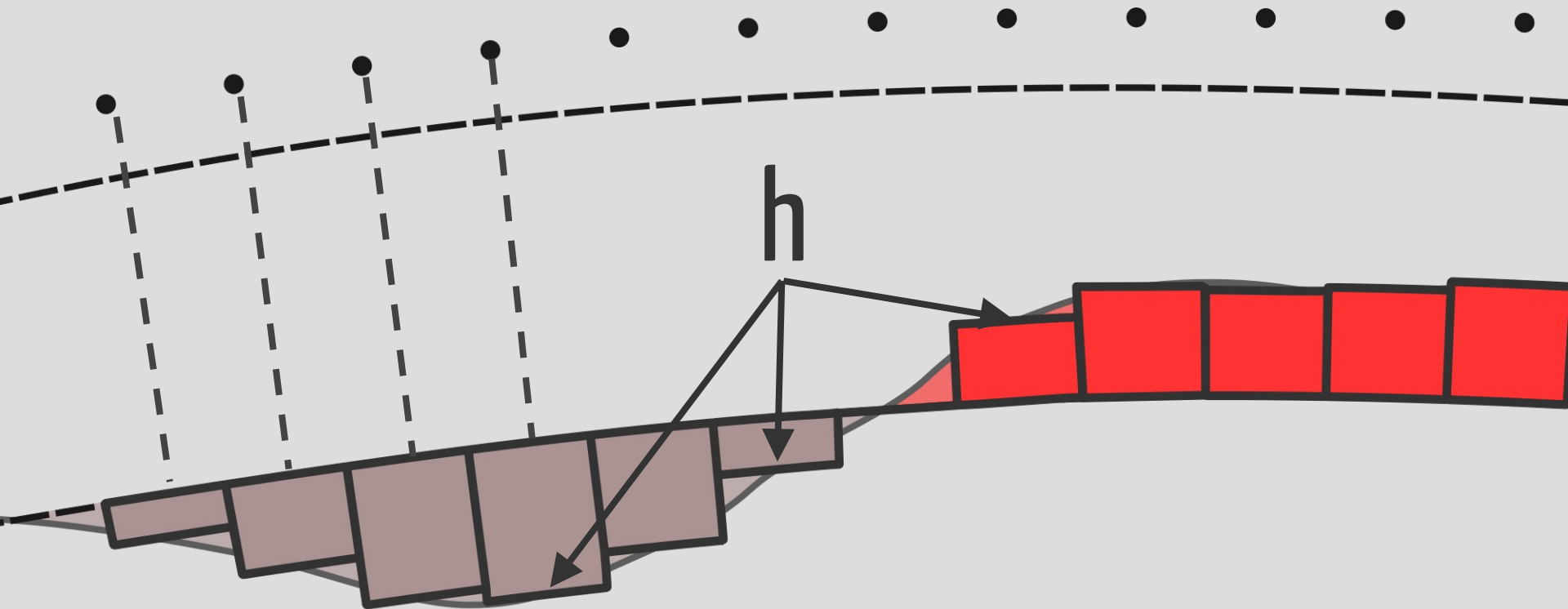




parâmetros =  $h$



$$\bar{p} \leftarrow h$$



Estimar  $\bar{p}$

a partir de  $\bar{d}^o$

Inversão

não-linear

# Resíduos

$$\bar{r} = \bar{d}^o - \bar{d}(\bar{p})$$

# Minimizar

$$\phi(\bar{p}) = ||\bar{r}||_2^2$$

# Gauss-Newton

$$\Delta \bar{p} = (\bar{\bar{A}}^T \bar{\bar{A}})^{-1} \bar{\bar{A}}^T [\bar{d}^o - \bar{d}(\bar{p}^k)]$$

# Gauss-Newton

$$\Delta \bar{p} = (\bar{\bar{A}}^T \bar{\bar{A}})^{-1} \bar{\bar{A}}^T [\bar{d}^o - \bar{d}(\bar{p}^k)]$$

$$A_{ij} = \frac{\partial d_i}{\partial p_j} \quad \underline{\text{Jacobiana}}$$



# Gauss-Newton

# mal posto

$$A_{ij} = \frac{\partial d_i}{\partial p_j} \quad \text{Jacobiana}$$

# Regularização

# Suavidade

$$\theta(\bar{p}) = ||\bar{\bar{R}} \bar{p}||_2^2$$

# Função objetivo

$$\Gamma(\bar{p}) = \phi + \mu \theta$$

# Função objetivo

ajuste



$$\Gamma(\bar{p}) = \phi + \mu \theta$$

# Função objetivo

ajuste



$$\Gamma(\bar{p}) = \phi + \mu \theta$$

regularização



# Função objetivo

ajuste      balanço

$$\Gamma(\bar{p}) = \phi + \mu \theta$$

regularização

The diagram illustrates the components of the objective function  $\Gamma(\bar{p}) = \phi + \mu \theta$ . The term  $\phi$  is associated with 'ajuste' (adjustment),  $\mu \theta$  is associated with 'balanço' (balance), and  $\mu$  is associated with 'regularização' (regularization).

# Gauss-Newton

$$\Delta \bar{p} = (\bar{\bar{A}}^T \bar{\bar{A}} + \mu \bar{\bar{R}}^T \bar{\bar{R}})^{-1} [ \bar{\bar{A}}^T \bar{r}^k - \mu \bar{\bar{R}}^T \bar{\bar{R}} \bar{p}^k ]$$



Gauss-Newton

**custoso**

$$\Delta p = (A^T A + \mu K^T K)^{-1} [$$

**(computacionalmente)**

1. Construire  $\bar{A}$

1. Construir  $\bar{\bar{A}}$

2. Sistema linear

1. Construir  $\bar{A}$

2. Sistema linear

3. Calcular  $\bar{r}$

Bott

(1960)

$$\Delta \bar{p} = \frac{\bar{r}}{2 \pi G \Delta \rho}$$

Bott (1960)

$$\Delta \bar{p} = \frac{\bar{r}}{2 \pi G \Delta \rho}$$



$\partial$  platô de Bouguer  
 $\partial h$

Bott (1960)

1. Construir  $\bar{\bar{A}}$

2. Sistema linear

3. Calcular  $\bar{r}$



1. Construir  $\bar{\bar{A}}$

2. Sistema linear

3. Calcular  $\bar{r}$

rápido

pouca memória

converge

Bott (1960)

instável  
regularização  
“empírico”

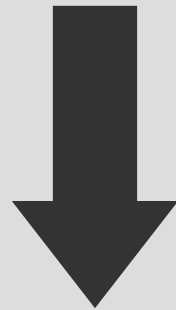
Bott (1960)

Silva et al.

(2014)

# Bott

# Bott



caso  
particular

# Gauss-Newton

Silva et al. (2014)

$$\Delta p = \frac{\bar{r}}{2 \pi G \Delta \rho}$$



caso  
particular

$$\Delta p = (\bar{\bar{A}}^T \bar{\bar{A}})^{-1} \bar{\bar{A}}^T \bar{r}$$

$$\Delta^- p = \frac{\bar{r}}{2 \pi G \Delta \rho}$$



caso  
particular

$$\Delta^- p = \left( \bar{\bar{A}}^T \bar{\bar{A}} \right)^{-1} \bar{\bar{A}}^T \bar{r}$$



$$\Delta^- p = \frac{\bar{r}}{2 \pi G \Delta \rho}$$

$$A_{ii} = 2 \pi G \Delta \rho$$

$$A_{ij} = 0 \text{ para } i \neq j$$

caso  
particular

$$\Delta^- p = \left( \bar{\bar{A}}^T \bar{\bar{A}} \right)^{-1} \bar{\bar{A}}^T \bar{r}$$

$\bar{\bar{A}}$ 

$$\begin{pmatrix} 2\pi G \Delta \rho & 0 & \cdots & 0 \\ 0 & 2\pi G \Delta \rho & \cdots & 0 \\ \vdots & \vdots & \ddots & \vdots \\ 0 & 0 & \cdots & 2\pi G \Delta \rho \end{pmatrix}$$

# Generalizar

$$\Delta p = \frac{\bar{r}}{b^k}$$

# Generalizar

$$\Delta^- p = \frac{\bar{r}}{b^k}$$

Regular passo (~ Marquardt)

Silva et al. (2014)

sem matrizes  
regular passo  
média móvel

Silva et al. (2014)

Nesse

trabalho

# Gauss-Newton

$$\Delta \bar{p} = (\bar{\bar{A}}^T \bar{\bar{A}})^{-1} \bar{\bar{A}}^T [\bar{d}^o - \bar{d}(\bar{p}^k)]$$

# Gauss-Newton

$$\Delta \bar{p} = (\bar{A}^T \bar{A})^{-1} \bar{A}^T [\bar{d}^o - \bar{d}(\bar{p}^k)]$$


tesseroides





# Gauss-Newton

$$\Delta \bar{p} = (\bar{\bar{A}}^T \bar{\bar{A}})^{-1} \bar{\bar{A}}^T [\bar{d}^o - \bar{d}(\bar{p}^k)]$$


$$A_{ii} = 2 \pi G \Delta \rho_i$$



tesseroïdes

# Gauss-Newton

$$\Delta \bar{p} = (\bar{\bar{A}}^T \bar{\bar{A}})^{-1} \bar{\bar{A}}^T [\bar{d}^o - \bar{d}(\bar{p}^k)]$$

$$A_{ii} = 2 \pi G \Delta \rho_i$$

por tesserioide

tesseroides

# Por que?

$$A_{ii} = 2\pi G \Delta \rho_i$$

tesseroide  $\rightarrow$   $\infty$

tesseroide  $\longrightarrow$   $\infty$

$g$   $\longrightarrow$   $2\pi G \Delta \rho h$

tesseroide  $\longrightarrow$   $\infty$

$$g \longrightarrow 2 \pi G \Delta \rho h$$

$$A_{ii} = \frac{\partial g}{\partial h} \longrightarrow 2 \pi G \Delta \rho$$

tesseroide

de  $0.5^0$

tesseroide

de  $0.5^\circ$

$\approx 55 \text{ km}$




Regularização


suavidade

$$\Delta \bar{p} = \left( \bar{\bar{A}}^T \bar{\bar{A}} + \mu \bar{\bar{R}}^T \bar{\bar{R}} \right)^{-1} \left[ \bar{\bar{A}}^T \bar{r}^k - \mu \bar{\bar{R}}^T \bar{\bar{R}} \bar{p}^k \right]$$

esparsas


$$\Delta \bar{p} = (\bar{\bar{A}}^T \bar{\bar{A}} + \mu \bar{\bar{R}}^T \bar{\bar{R}})^{-1} [ \bar{\bar{A}}^T \bar{\bar{r}}^k - \mu \bar{\bar{R}}^T \bar{\bar{R}} \bar{\bar{p}}^k ]$$

esparsas


$$\Delta \bar{p} = (\bar{\bar{A}}^T \bar{\bar{A}} + \mu \bar{\bar{R}}^T \bar{\bar{R}})^{-1} [$$

$$\bar{\bar{A}}^T \bar{\bar{r}}^k - \mu \bar{\bar{R}}^T \bar{\bar{R}} \bar{\bar{p}}^k ]$$



~99.9% tempo de computação

1. Construir  $\bar{A}$

2. Sistema linear

3. Calcular  $\bar{r}$

1. Construir  $\bar{A}$   
Bott

2. Sistema linear

3. Calcular  $\bar{r}$

1. Construir  $\bar{A}$   
Bott

2. Sistema linear  
matrizes esparsas

3. Calcular  $\bar{r}$

rápido

pouca memória

converge



instável  
regularização  
“empírico”

~~instável~~

~~regularização~~

~~“empírico”~~

# Implementação



python<sup>TM</sup>



fatiando a terra

modeling and inversion in geophysics

matrizes esparsas

estimar

hyperparâmetros

$\mu$

$\Delta \rho$

$h_{\text{ref}}$

$\mu$  regularização

$\Delta \rho$

$h_{\text{ref}}$

$\mu$

regularização

contraste

densidade

$\Delta$

$\rho$

$h_{\text{ref}}$



$\mu$

regularização

contraste

densidade

$\Delta$

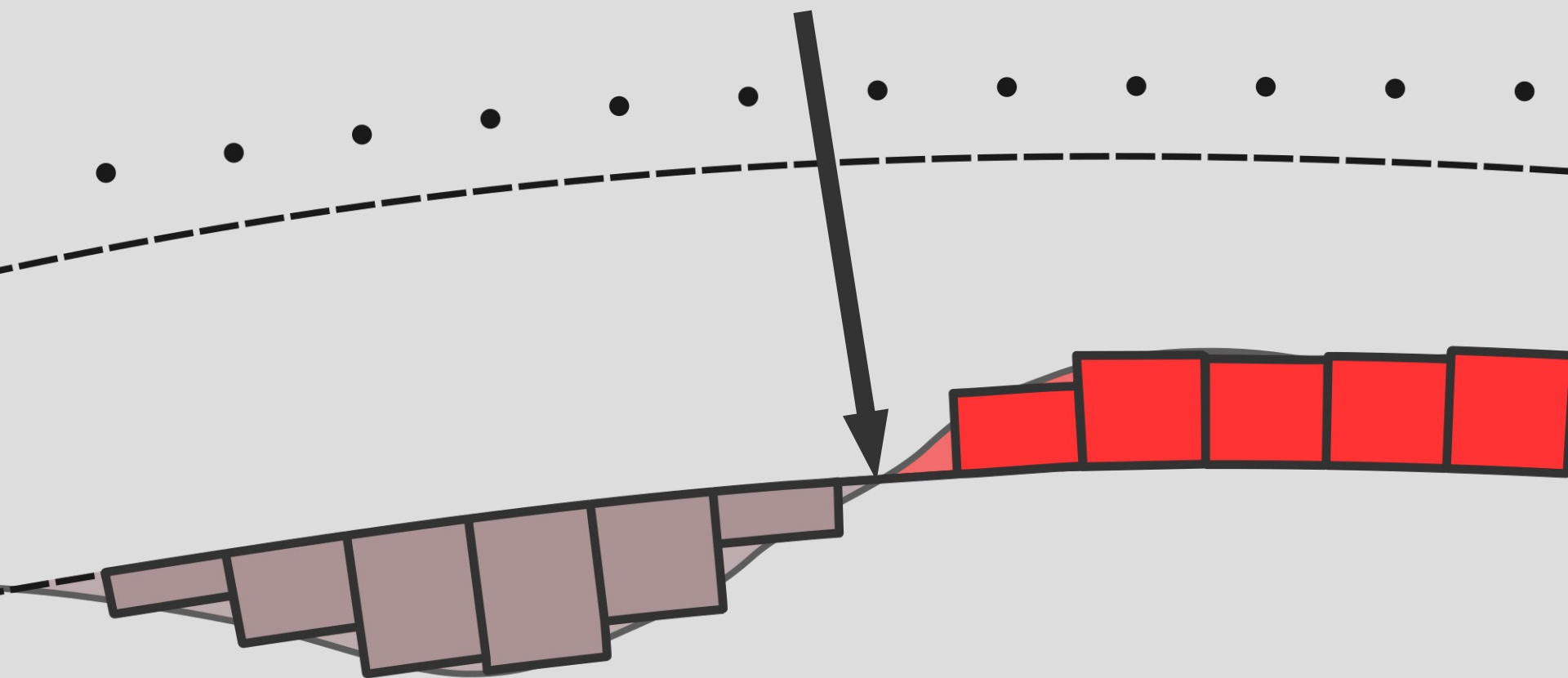
$\rho$

Moho

Terra Normal

$h_{\text{ref}}$

$h_{\text{ref}}$



**validação cruzada**

validação

cruzada

$\mu$

validação

$\mu$

cruzada

$\Delta \rho$

$h_{\text{ref}}$

validação

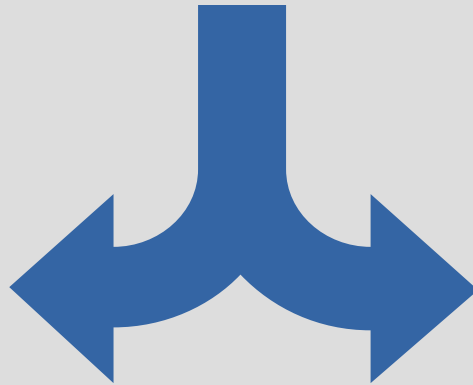
$\mu$

cruzada

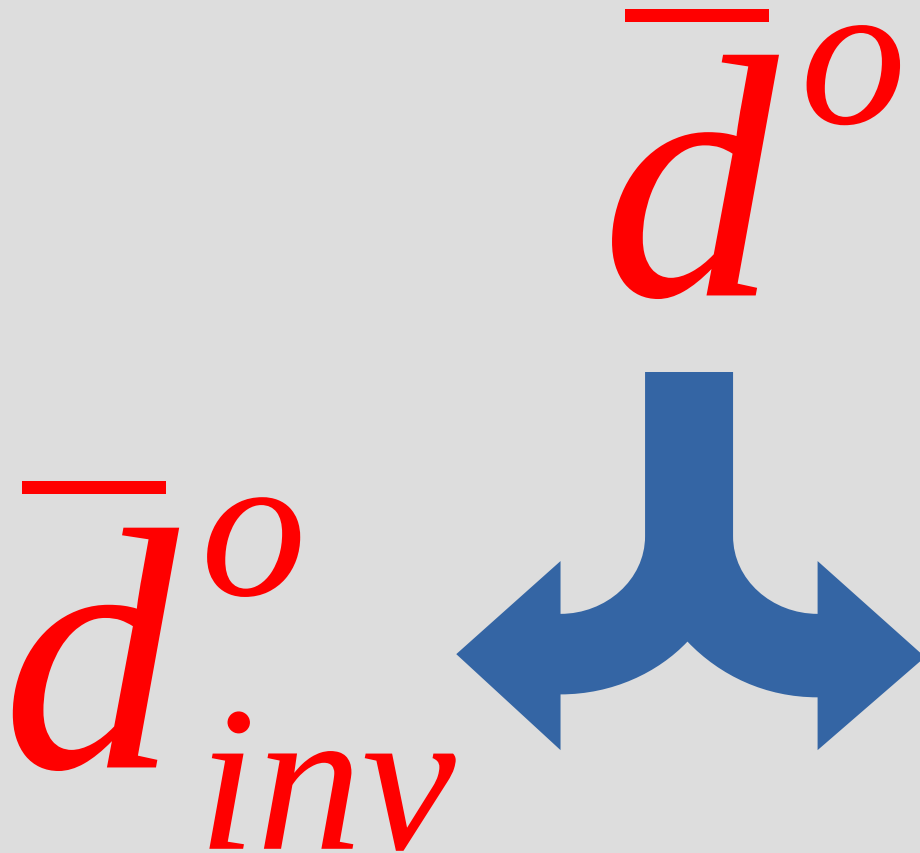
$\Delta \rho$

$h_{\text{ref}}$

# Separar os dados

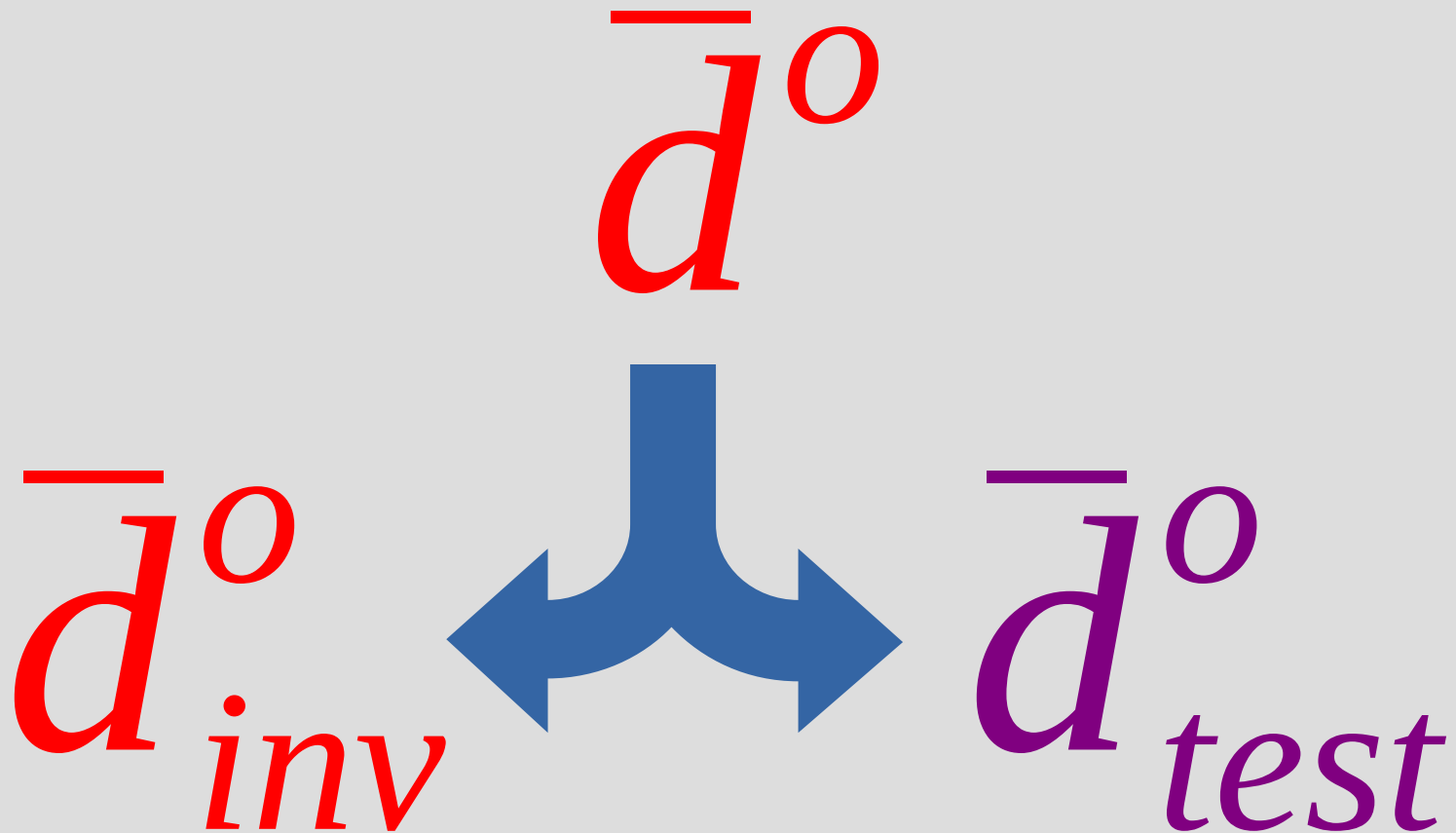
 $\bar{d}^o$ 

# Separar os dados





# Separar os dados



para  $\mu_i$  em  $[\mu_1, \dots, \mu_m]$ :

para  $\mu_i$  em  $[\mu_1, \dots, \mu_m]$ :

inversão:  $\bar{d}_{inv}^o \rightarrow \hat{p}_i$

para  $\mu_i$  em  $[\mu_1, \dots, \mu_m]$ :

inversão:  $\bar{d}_{inv}^o \rightarrow \hat{\bar{p}}_i$

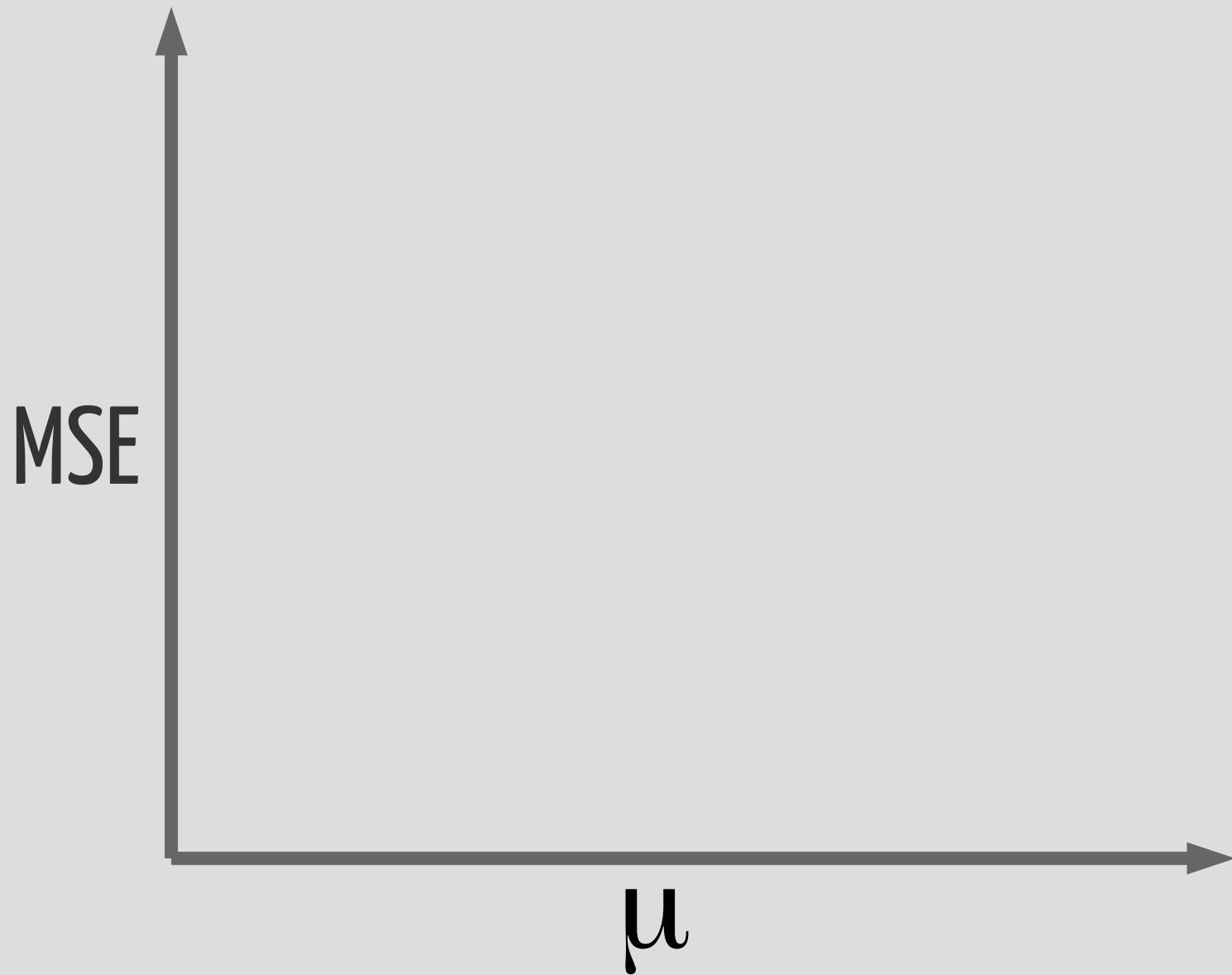
$\hat{\bar{p}}_i \rightarrow$  prever  $\bar{d}_{test}$

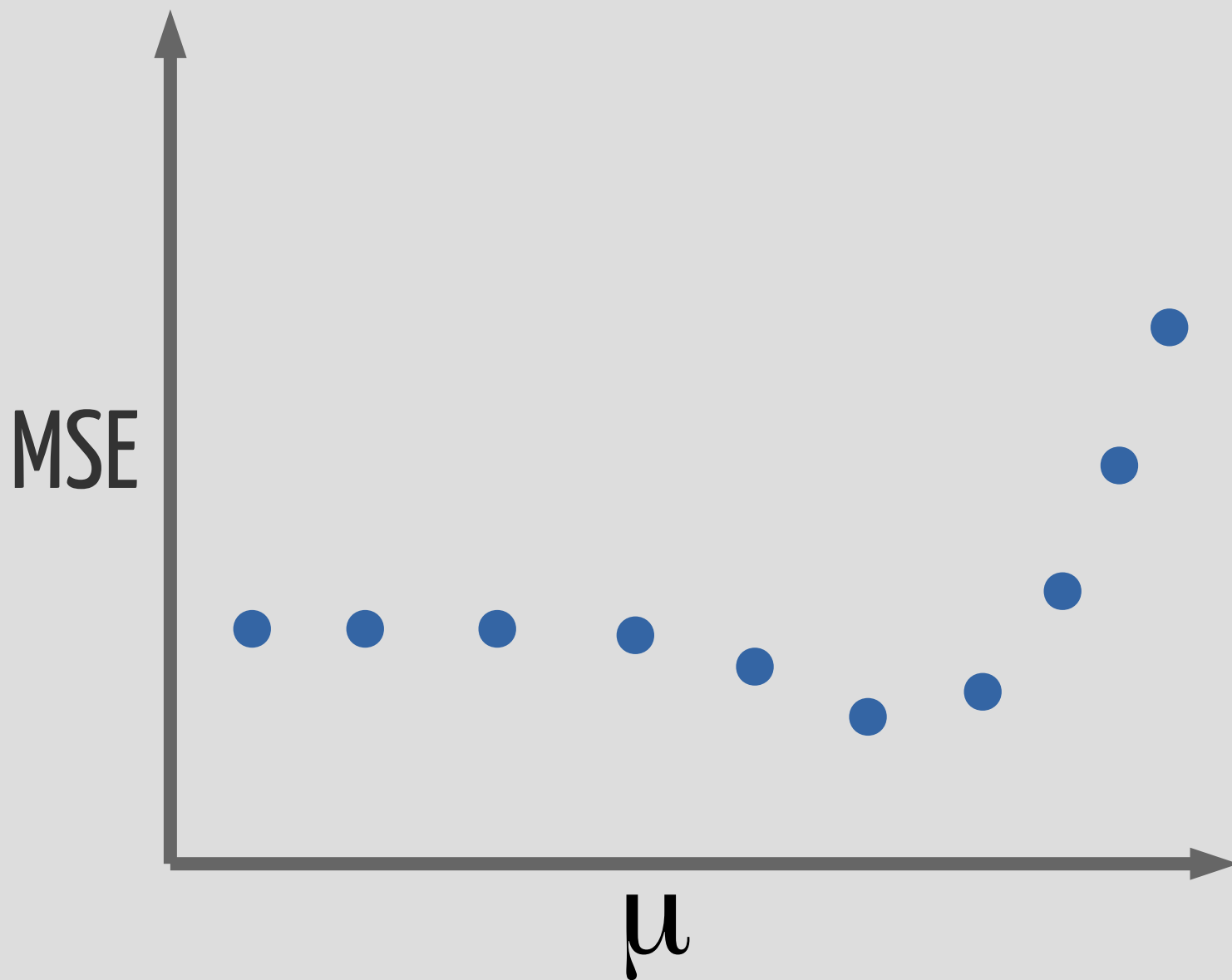
para  $\mu_i$  em  $[\mu_1, \dots, \mu_m]$ :

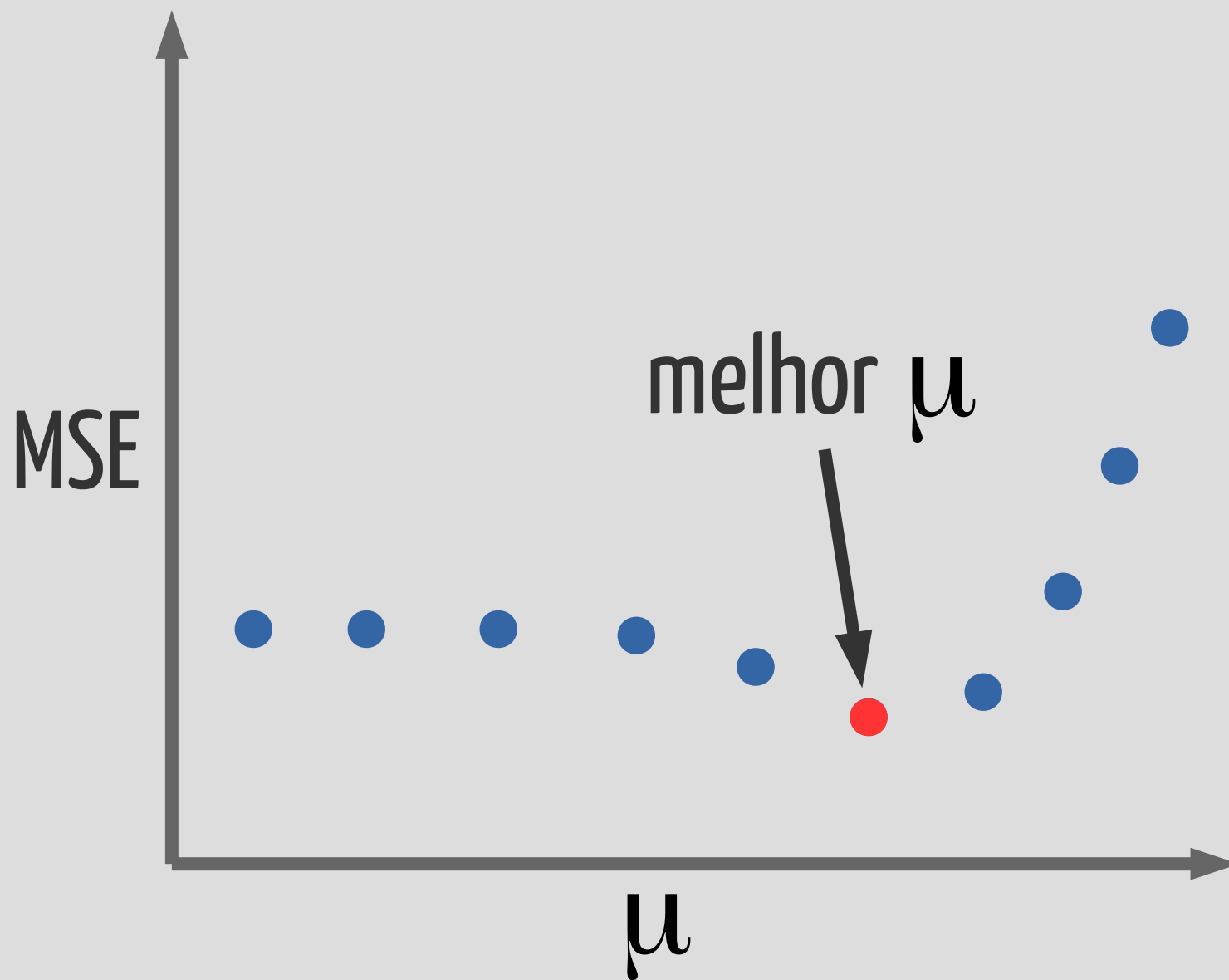
inversão:  $\bar{d}_{inv}^o \rightarrow \hat{\bar{p}}_i$

$\hat{\bar{p}}_i \rightarrow$  prever  $\bar{d}_{test}$

$$MSE = \frac{\|\bar{d}_{test}^o - \bar{d}_{test}\|^2}{N_{test}}$$

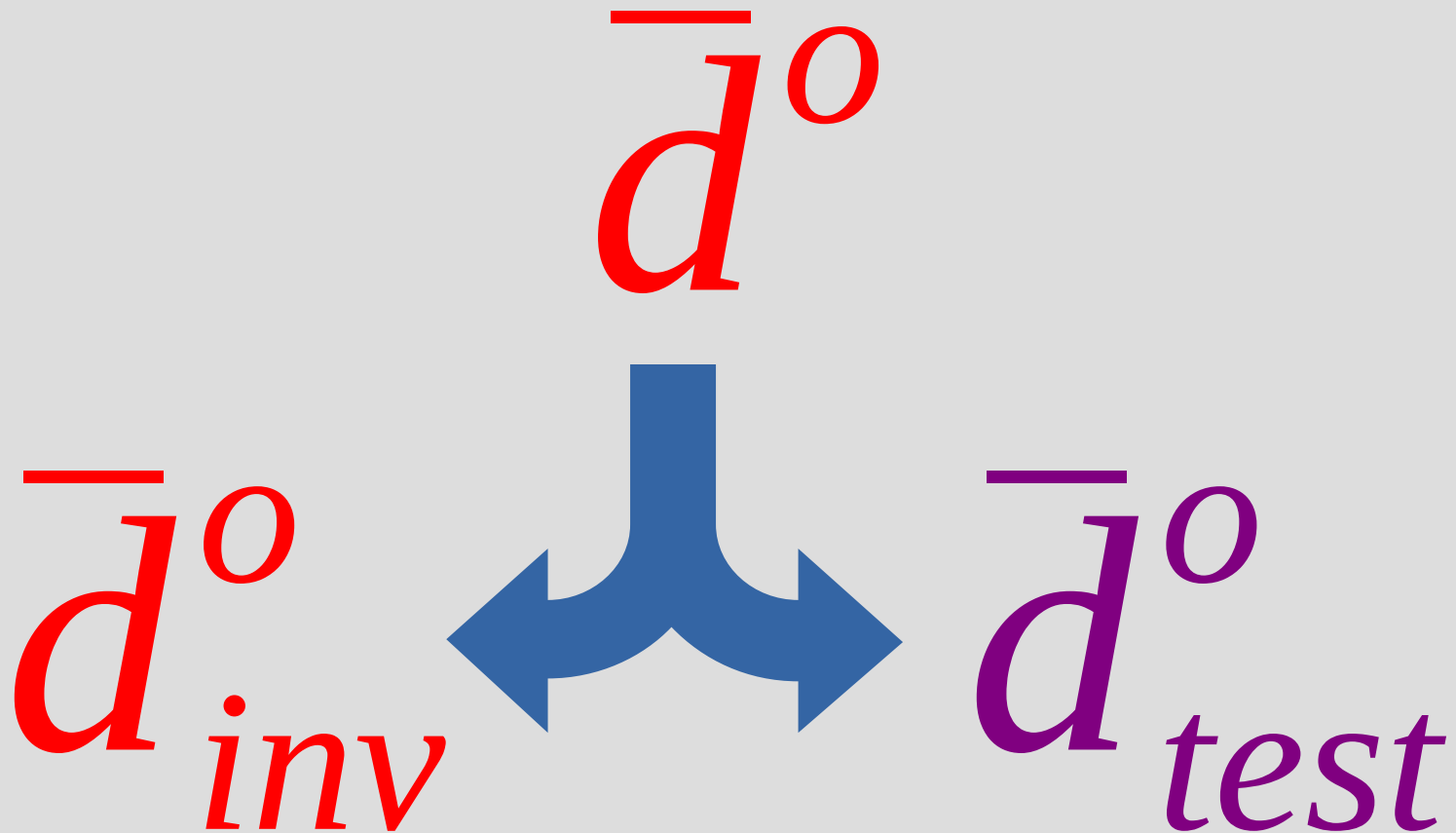




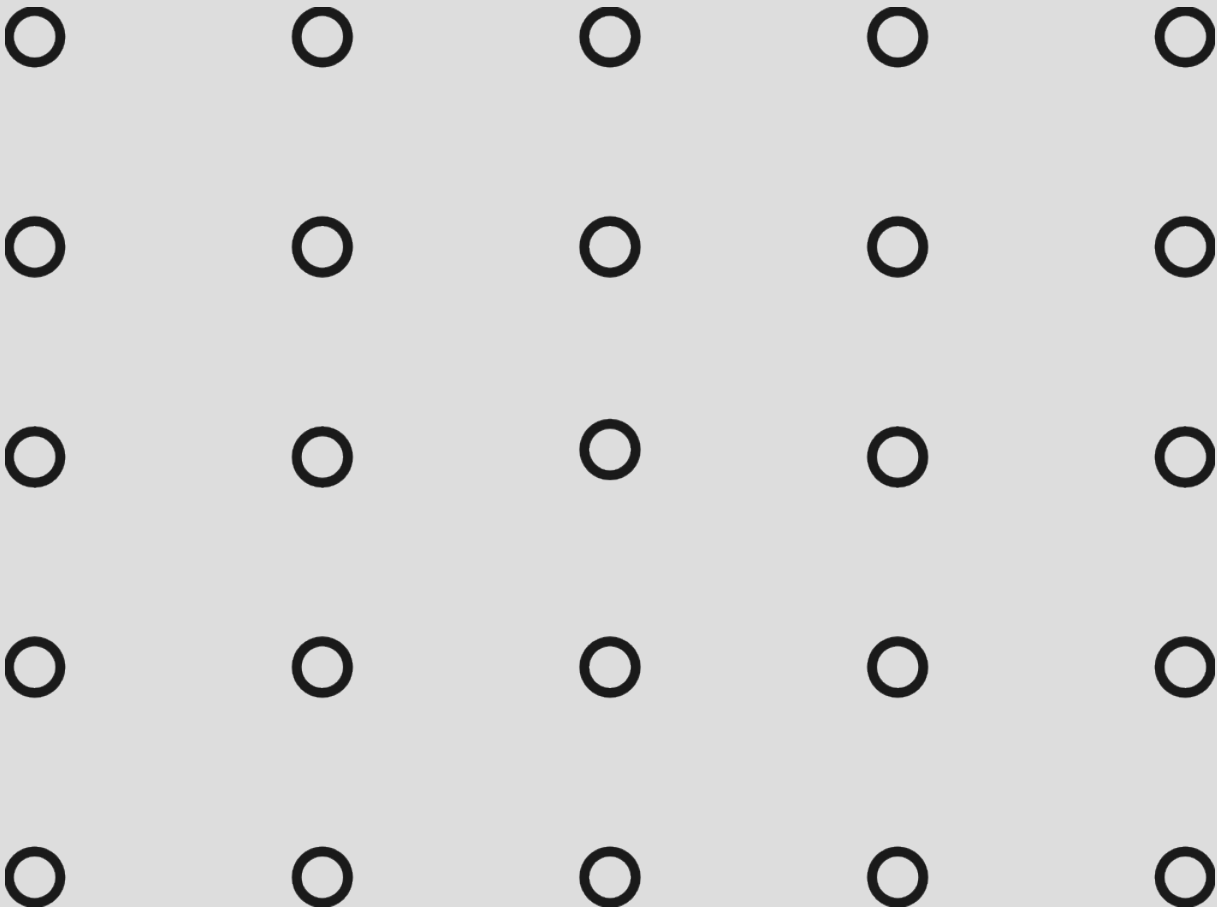




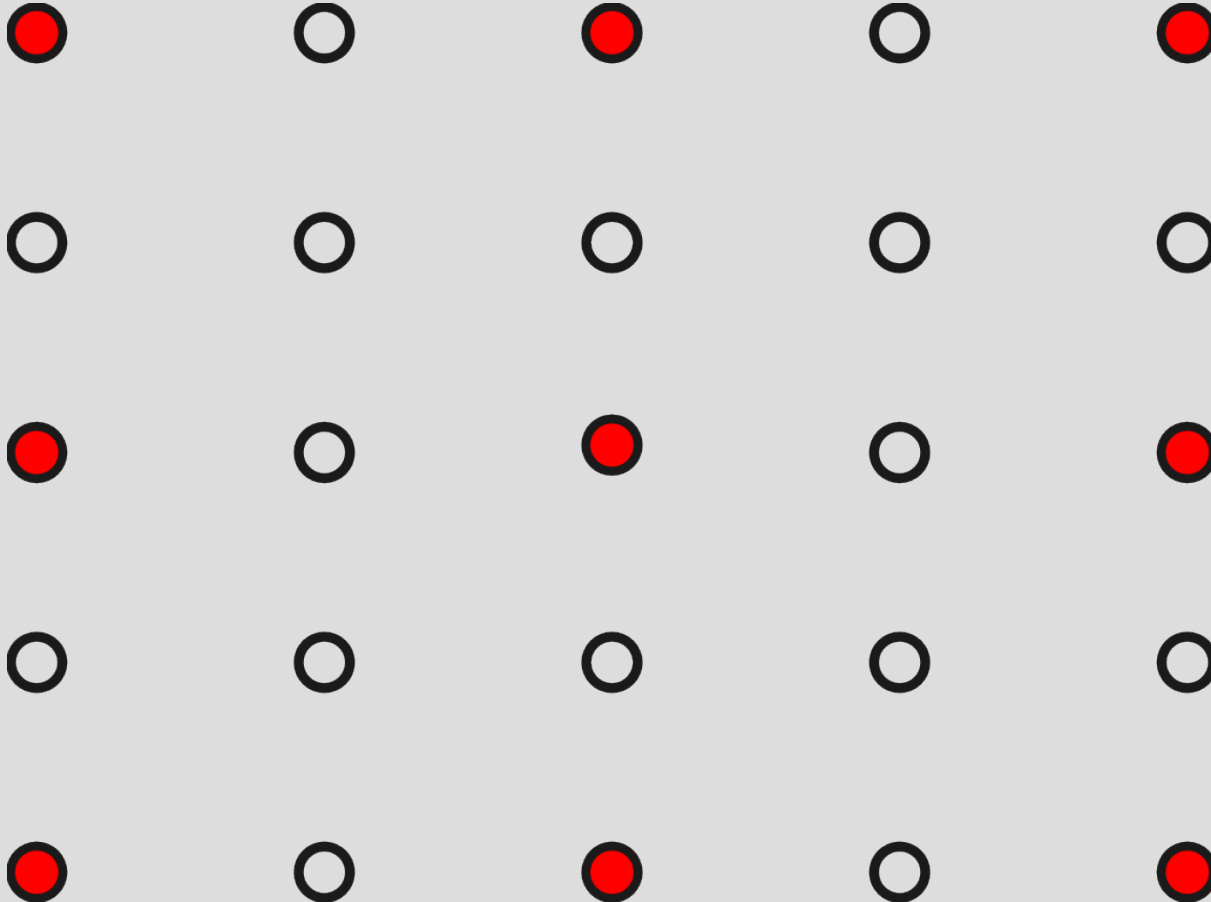
# Separar os dados



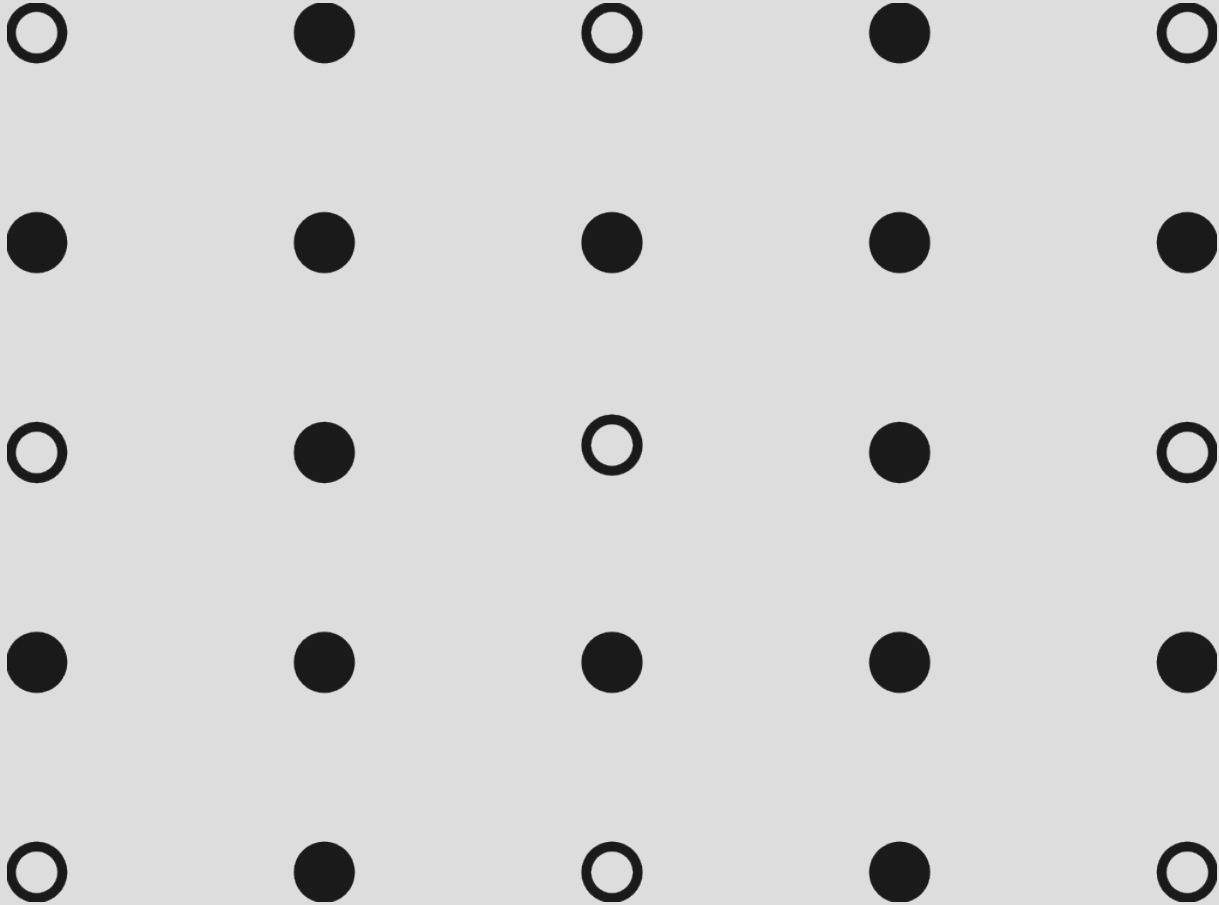
dado completo



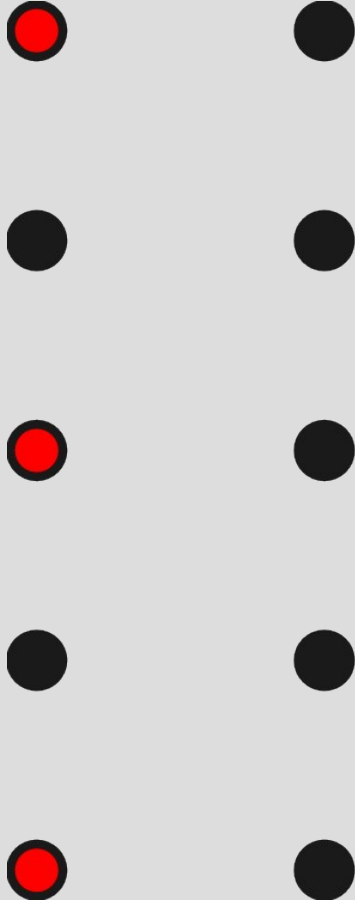
# dado inversão



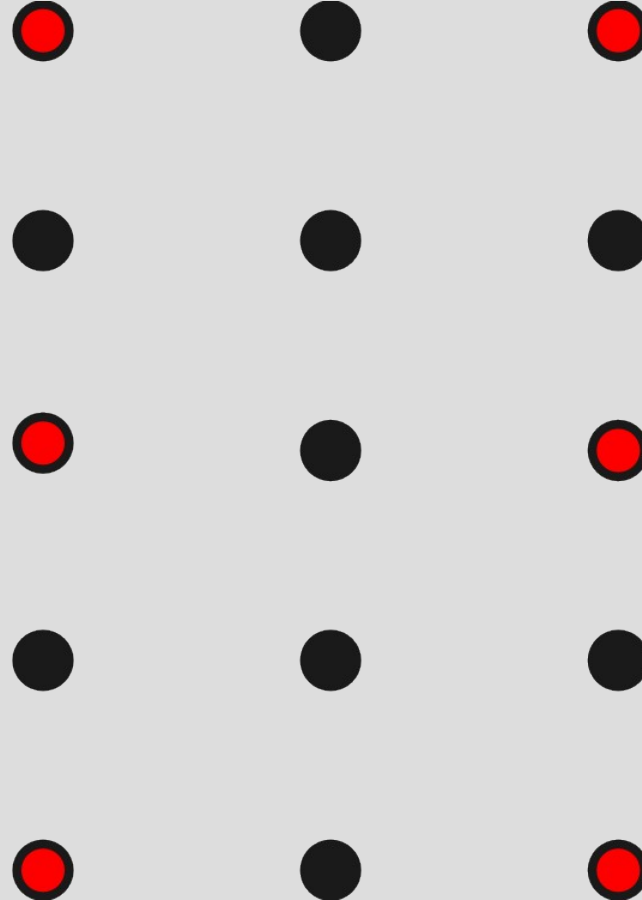
# dados teste



dado teste



dado inversão



validação

$\mu$

cruzada

$\Delta \rho$

$h_{\text{ref}}$

# vínculos da sísmica

estimativas  
pontuais

$$\bar{h}_s^o$$



para  $\Delta \rho_i$  e  $h_{ref,i}$

para  $\Delta \rho_i$  e  $h_{ref,i}$

inversão:  $\bar{d}_{inv}^o \rightarrow \hat{p}_i$

para  $\Delta \rho_i$  e  $h_{ref,i}$

inversão:  $\bar{d}_{inv}^o \rightarrow \hat{p}_i$

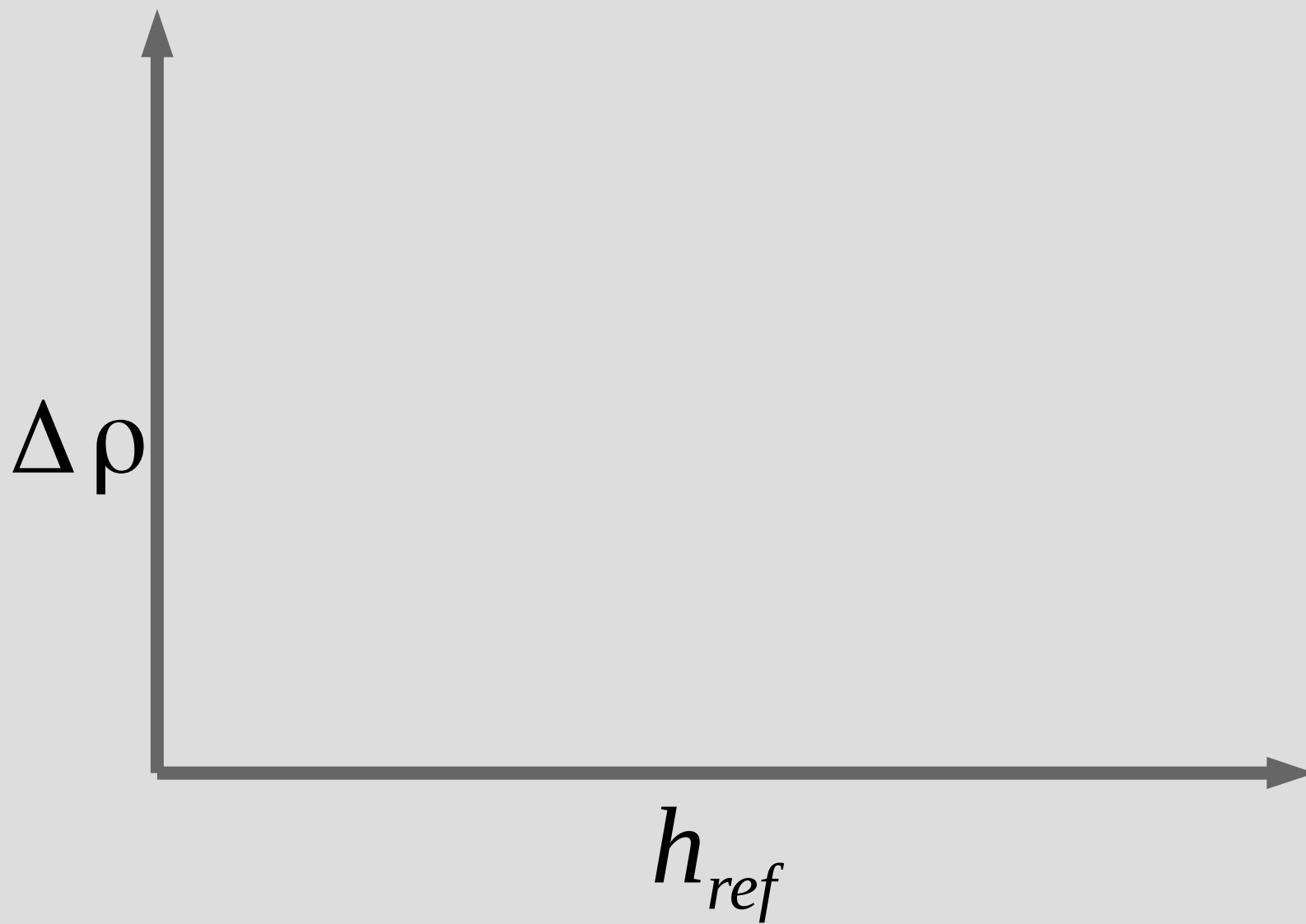
$\hat{p}_i \rightarrow$  interpolar  $\bar{h}_s$

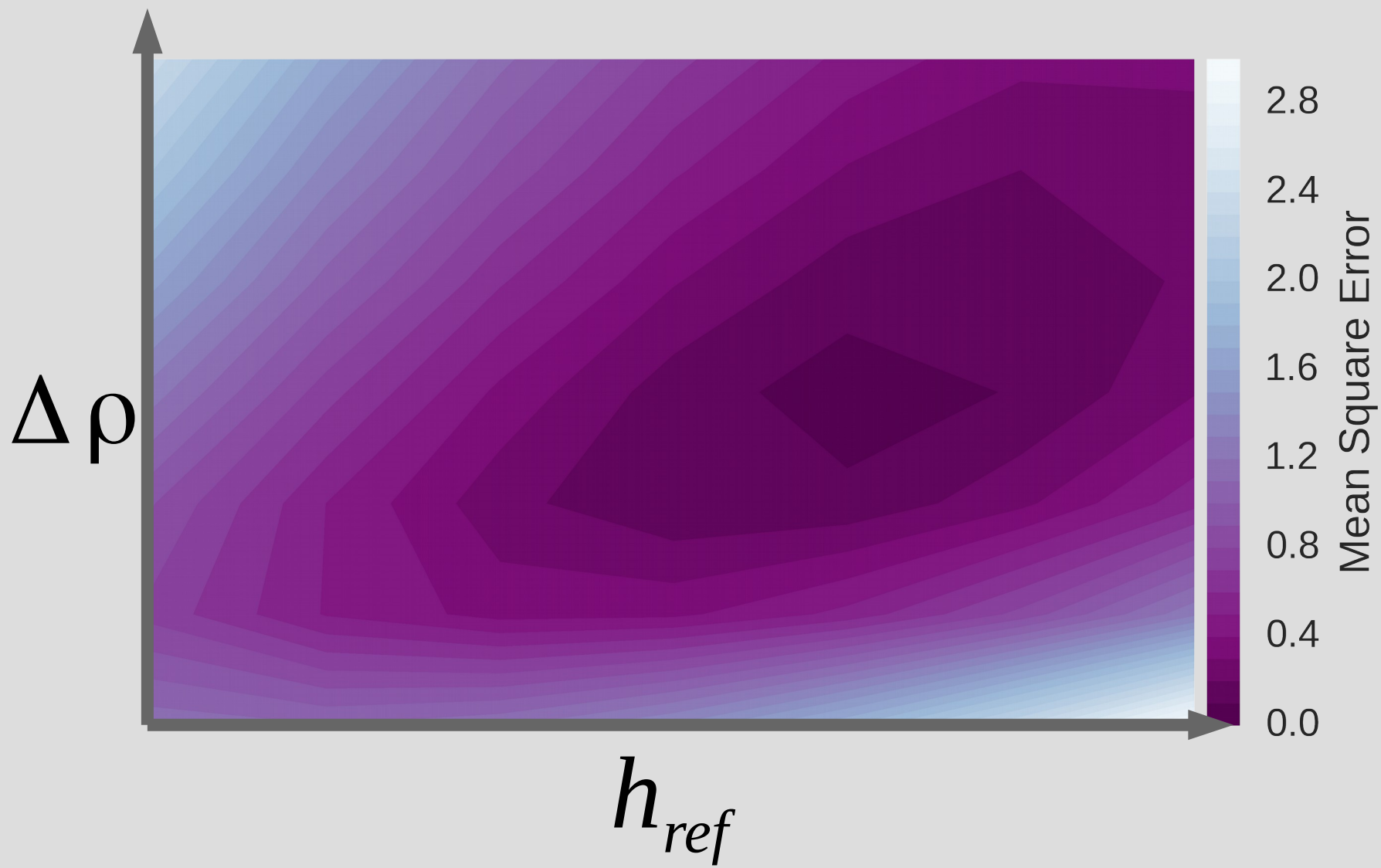
para  $\Delta \rho_i$  e  $h_{ref,i}$

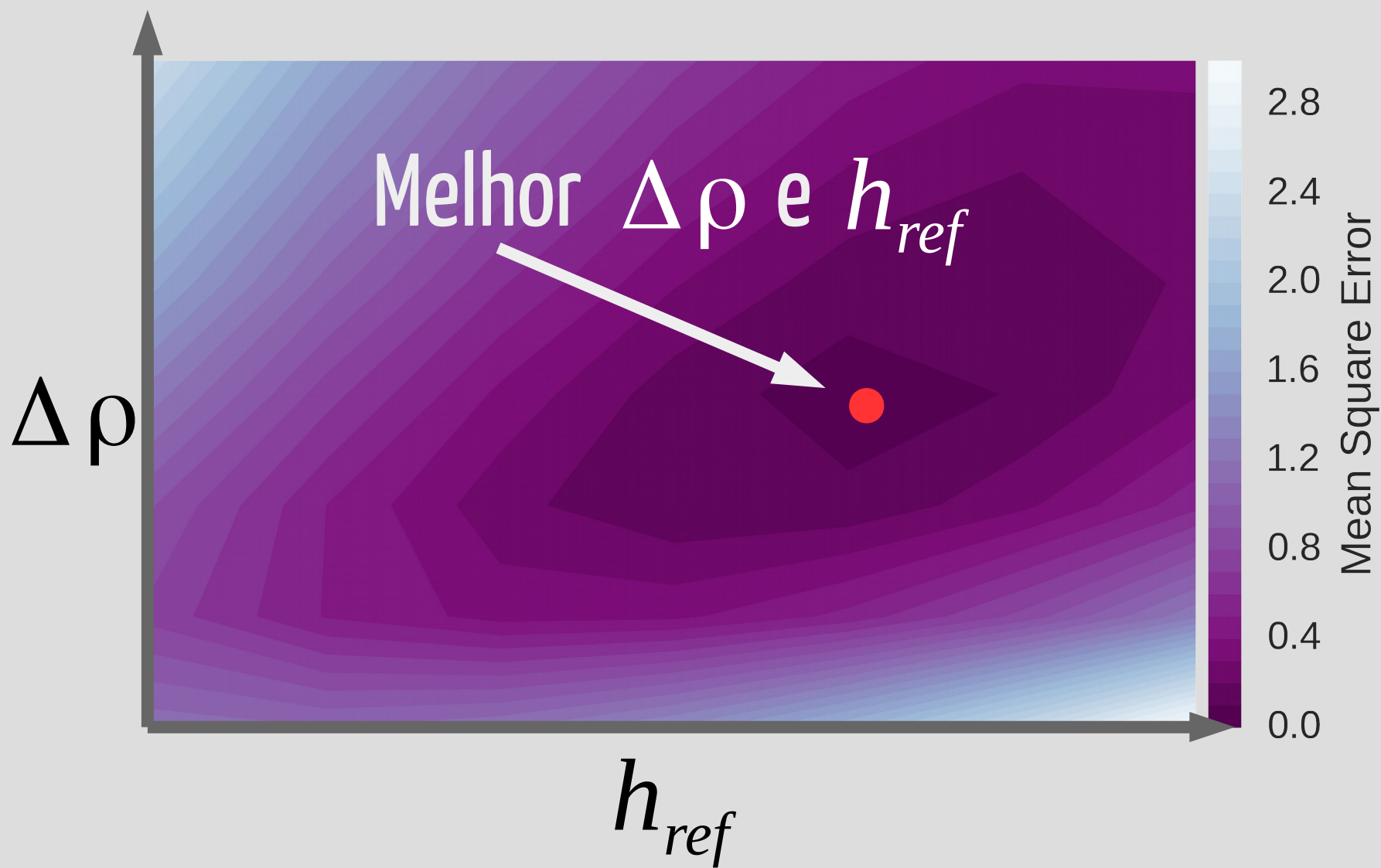
inversão:  $\bar{d}_{inv}^o \rightarrow \hat{\bar{p}}_i$

$\hat{\bar{p}}_i \rightarrow$  interpolar  $\bar{h}_s$

$$MSE = \frac{\|\bar{h}_s^o - \bar{h}_s\|^2}{N_{test}}$$



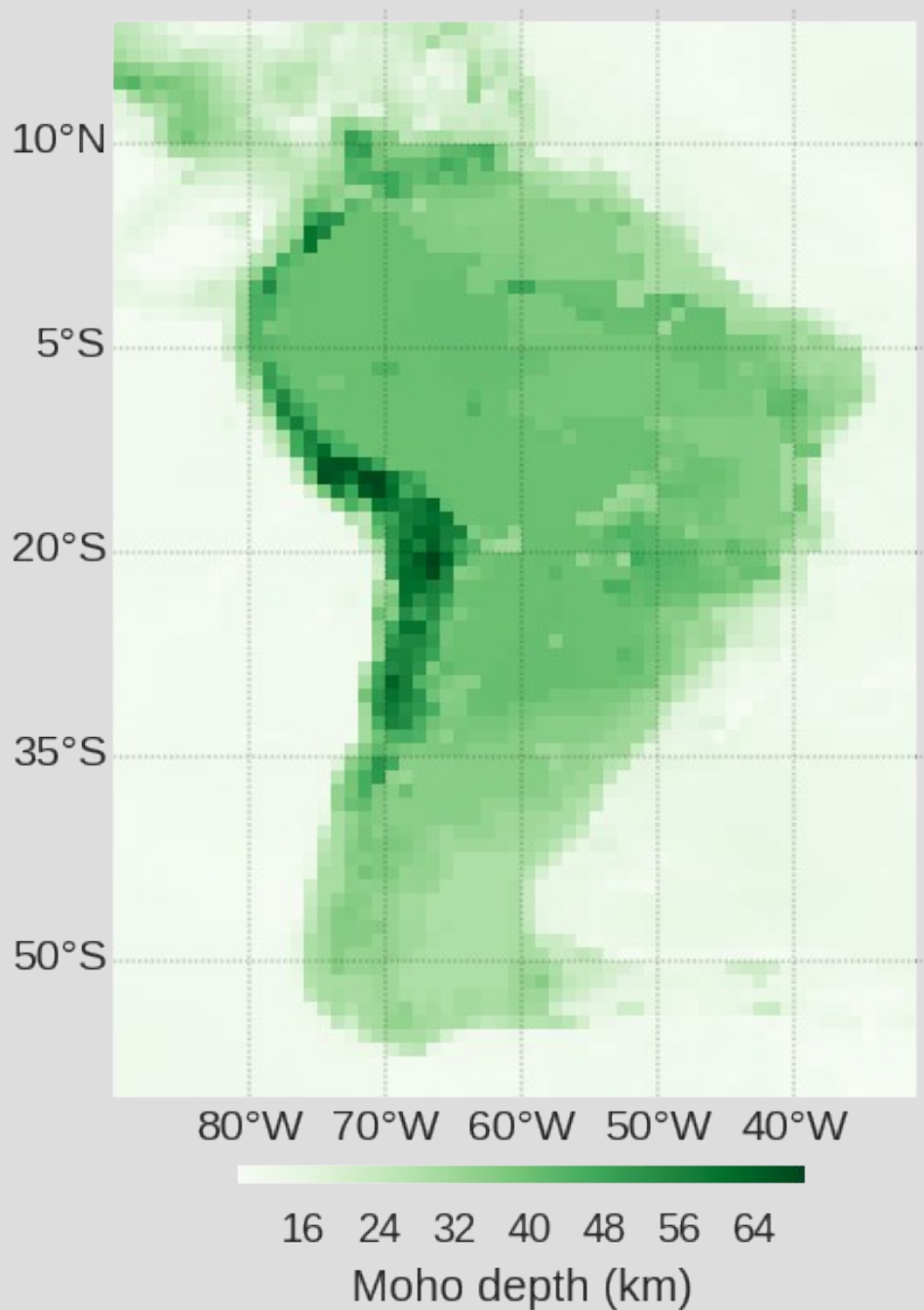




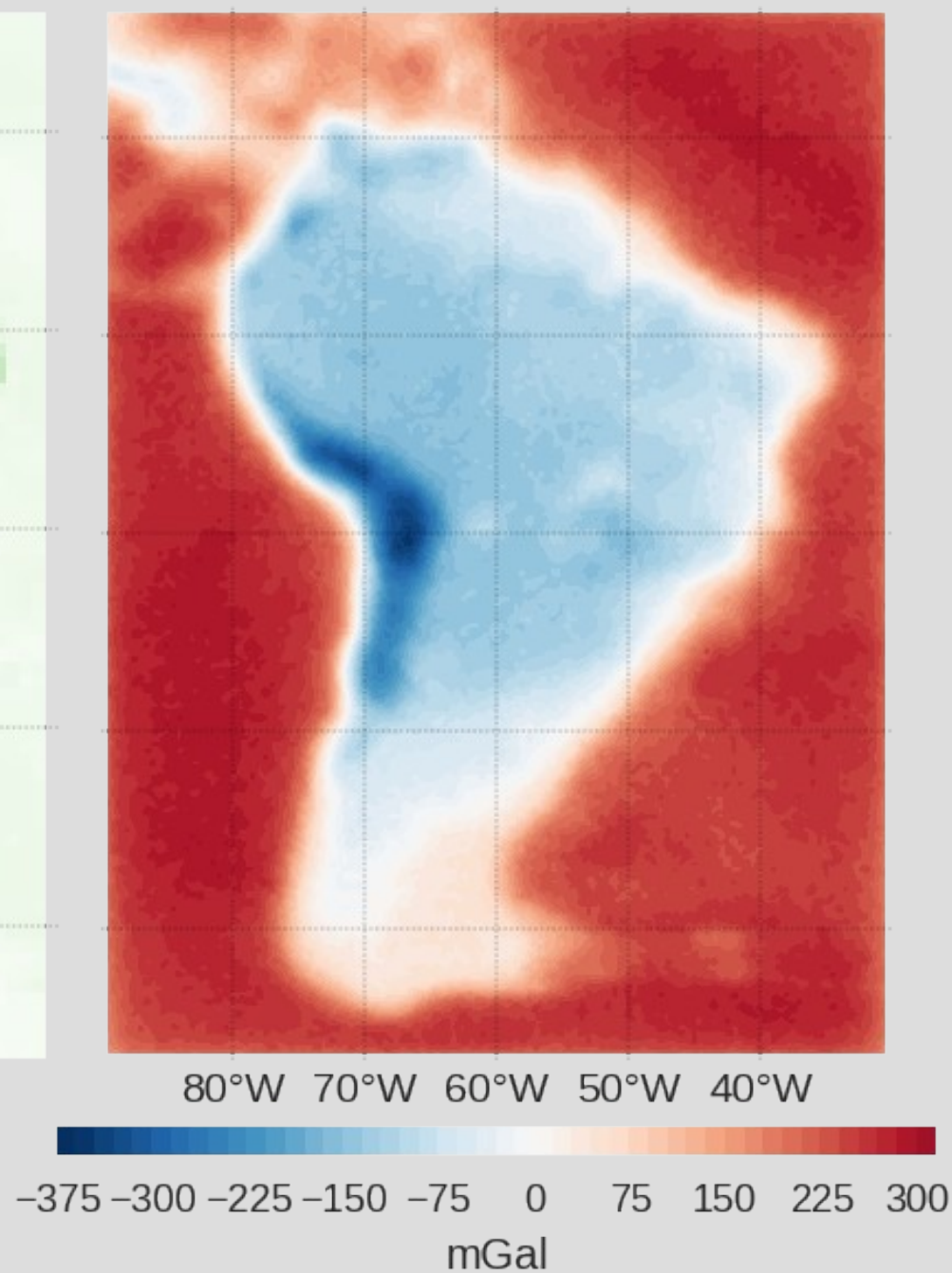
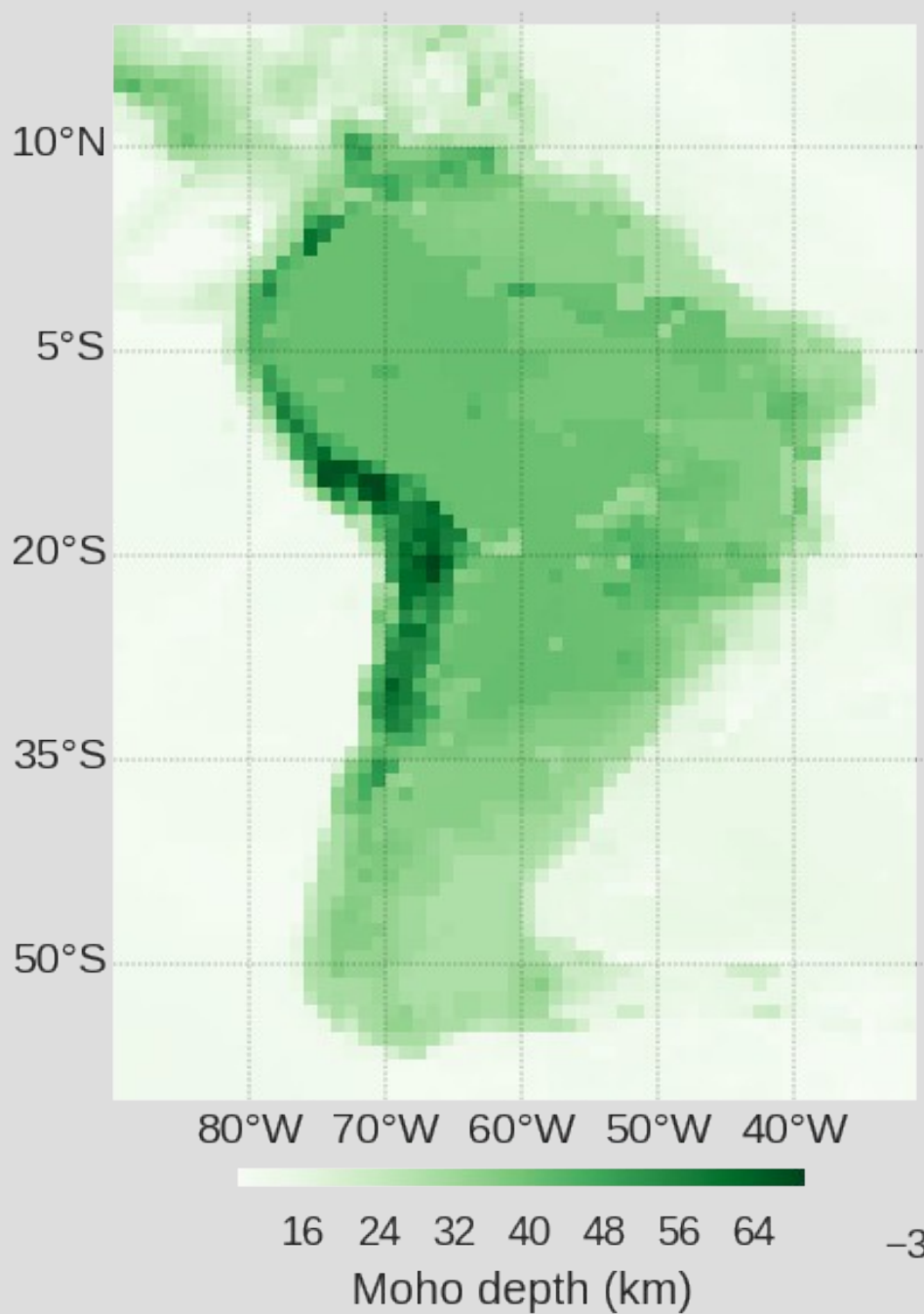
Resultados

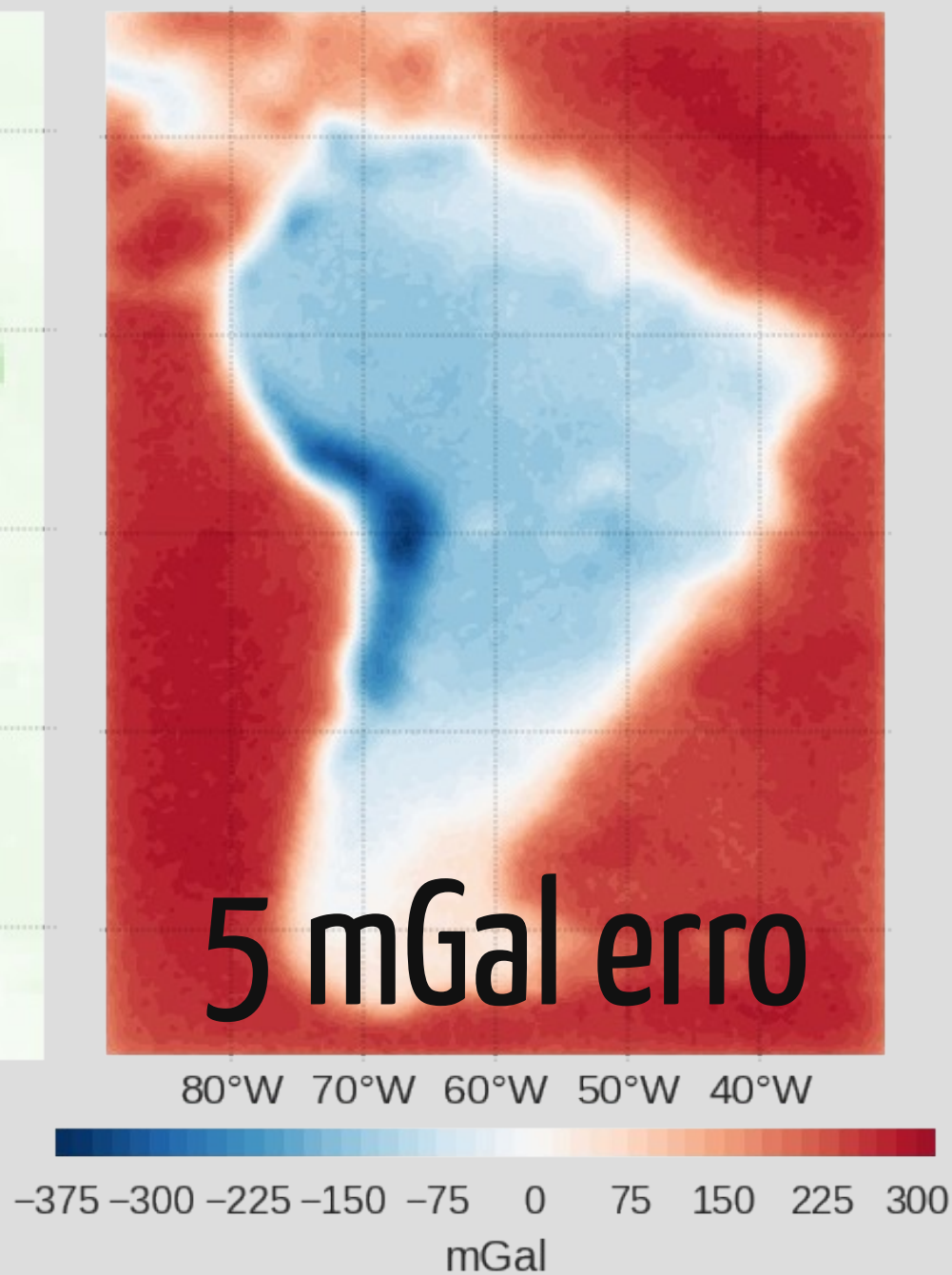
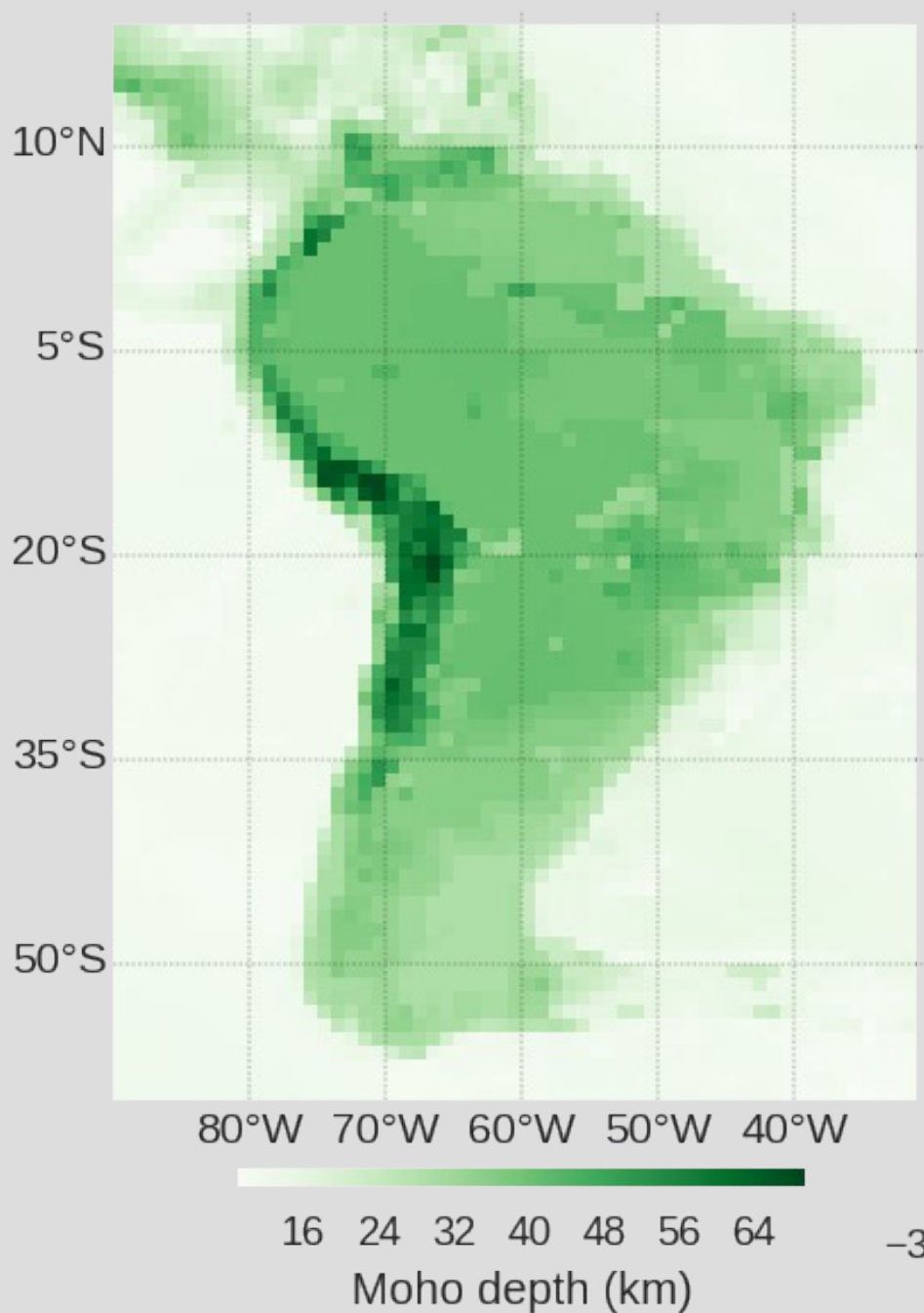
sintético

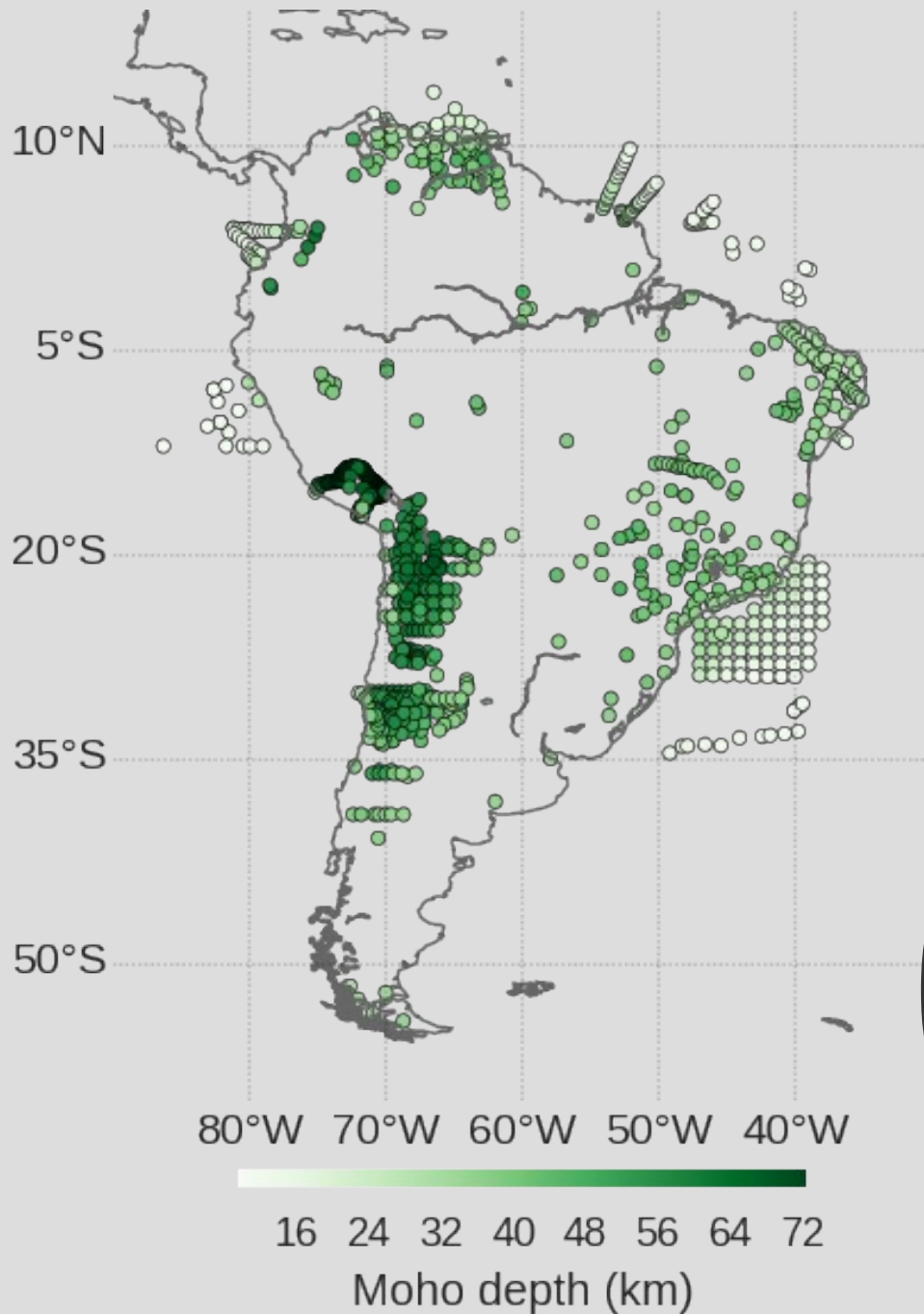




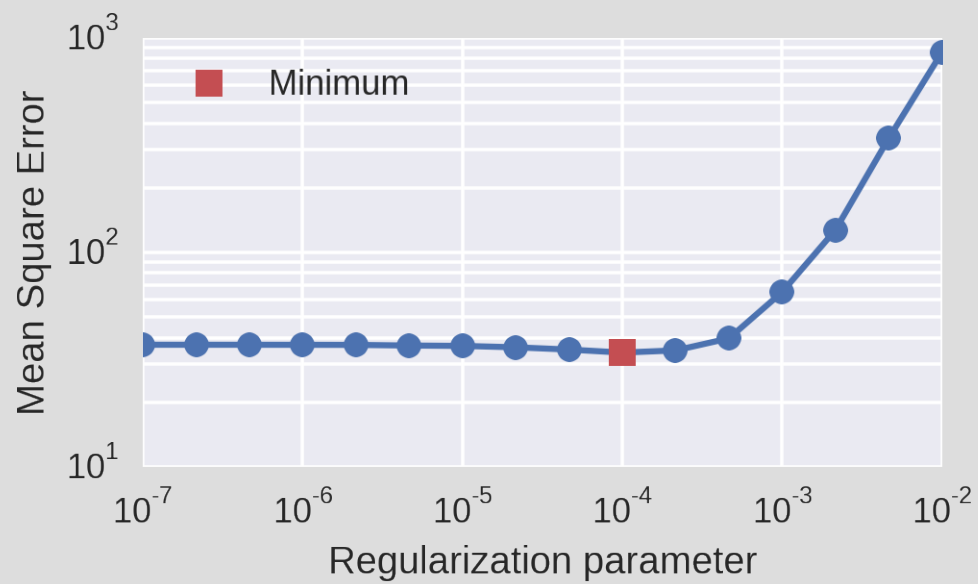
Moho  
CRUST1.0

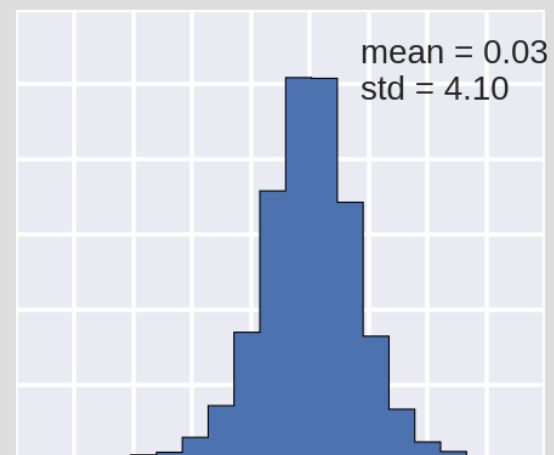
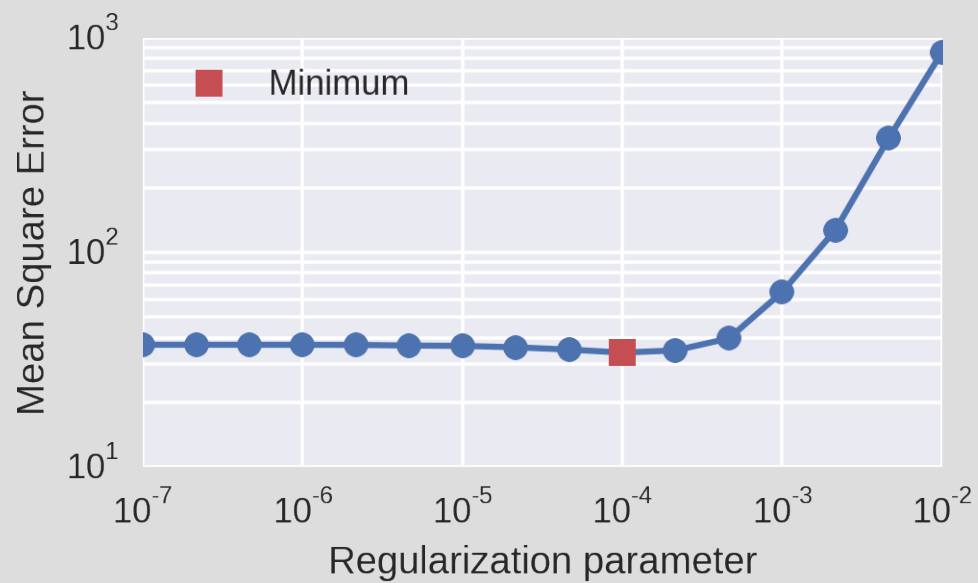


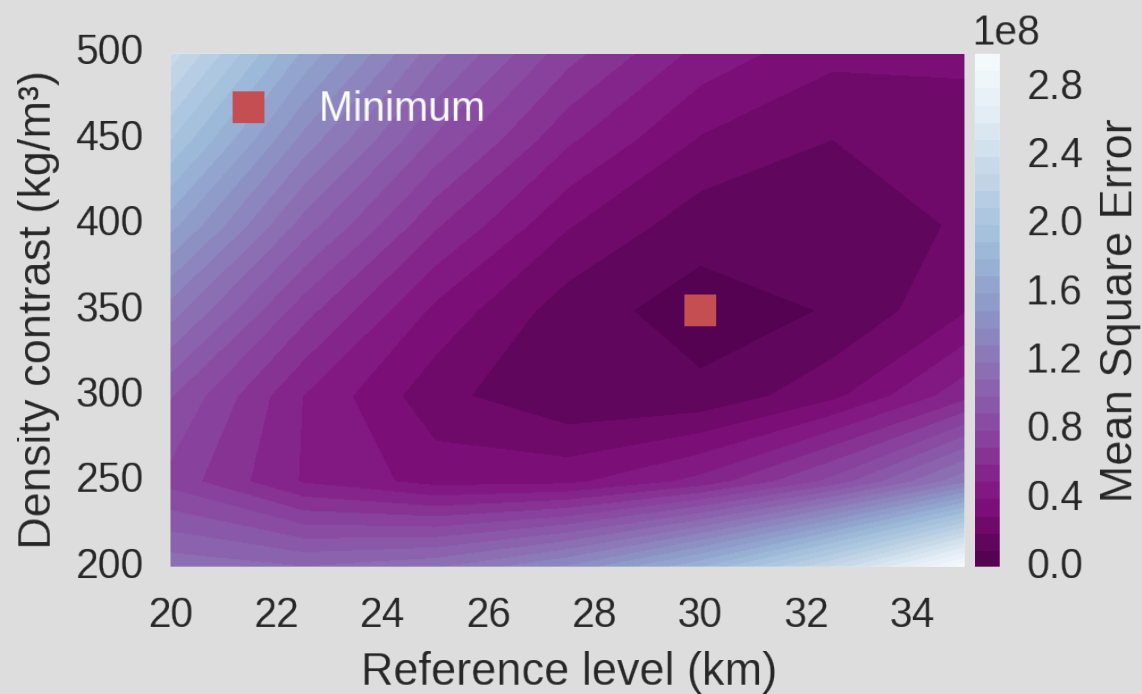
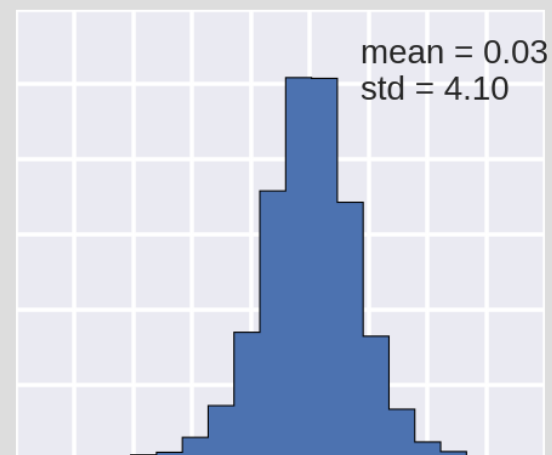
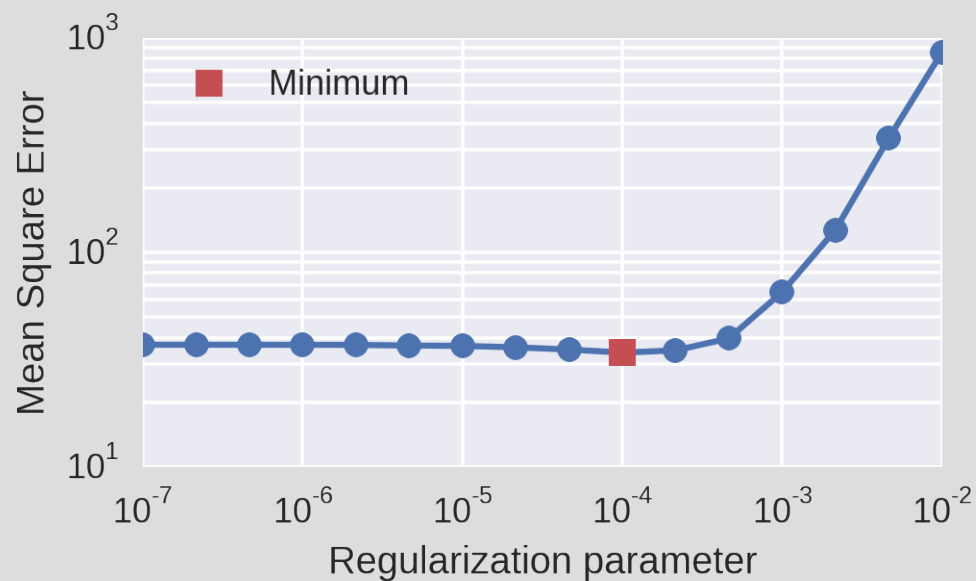




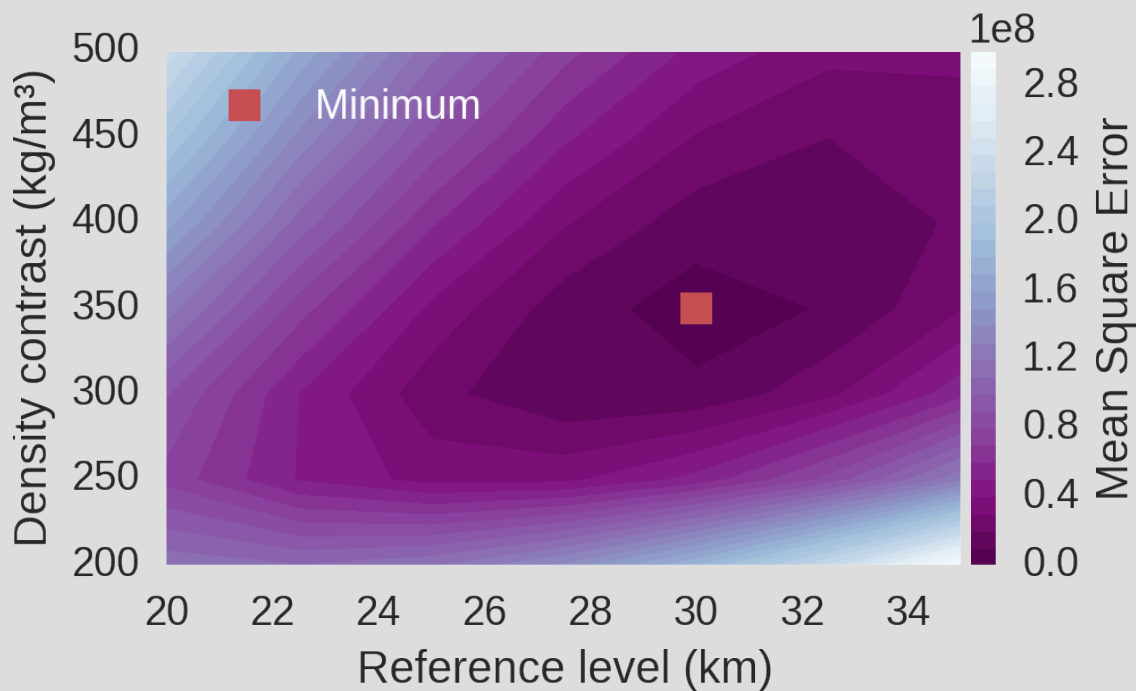
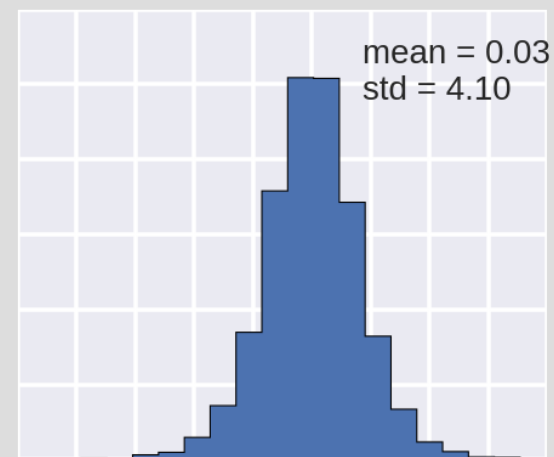
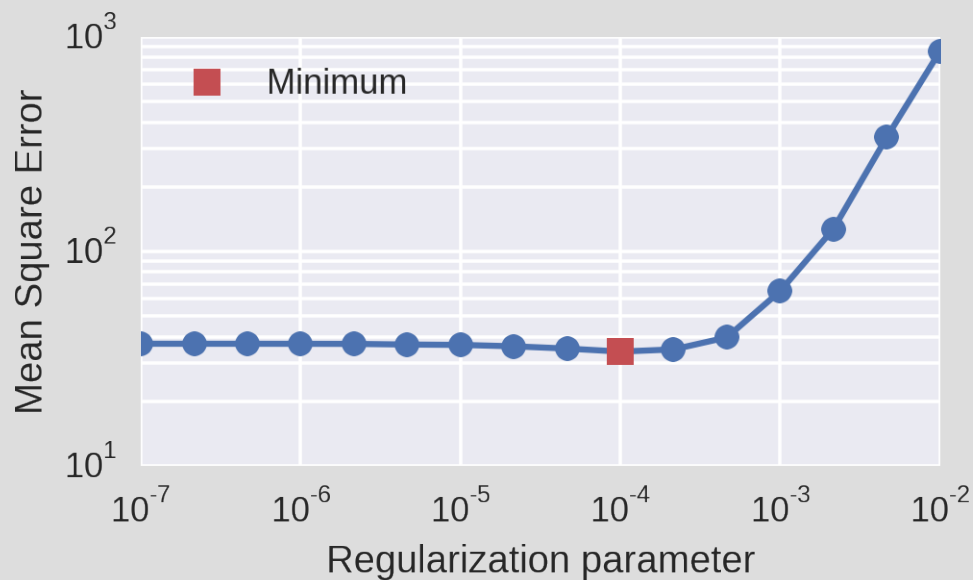
vínculos  
sísmicos  
CRUST1.0









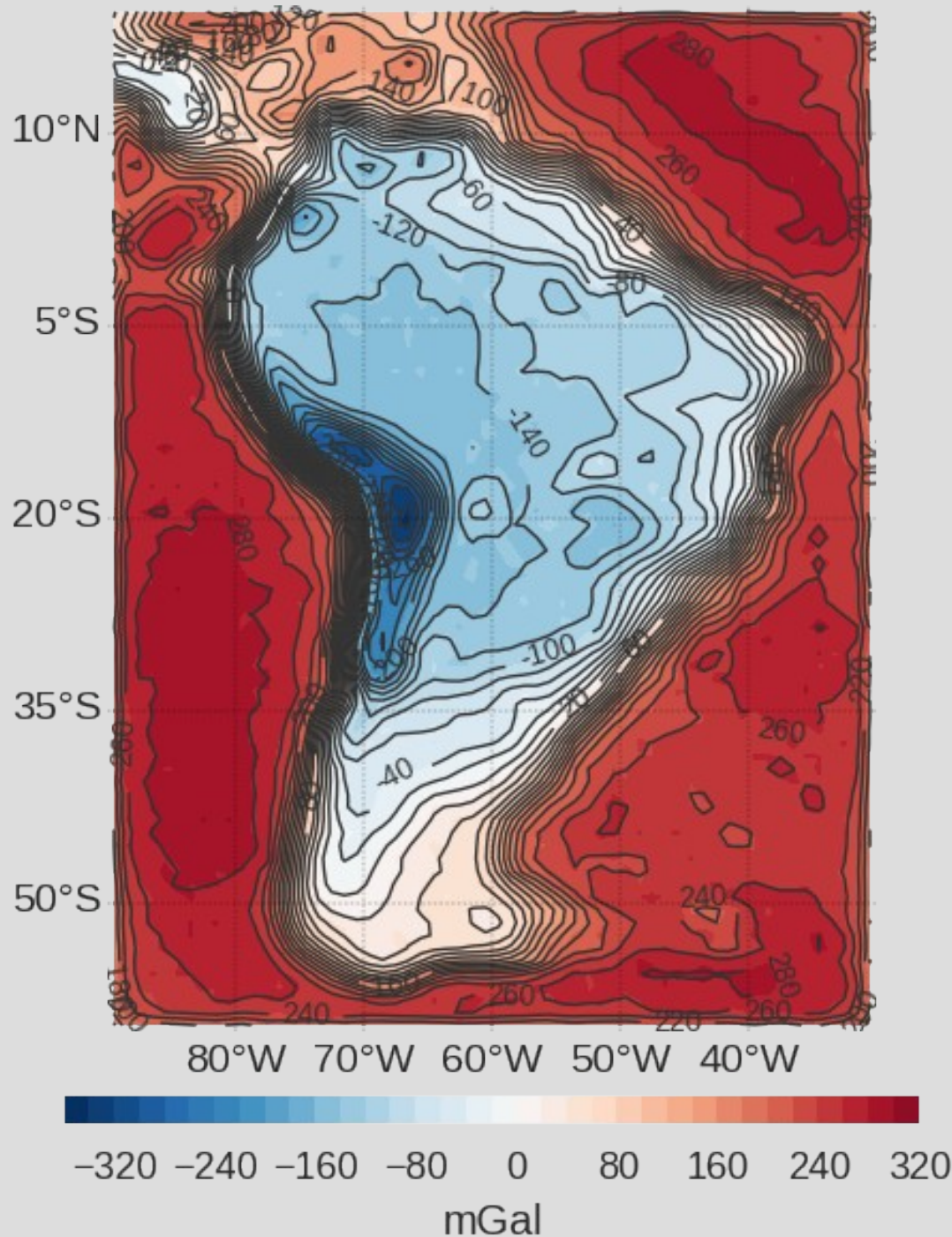


verdadeiros

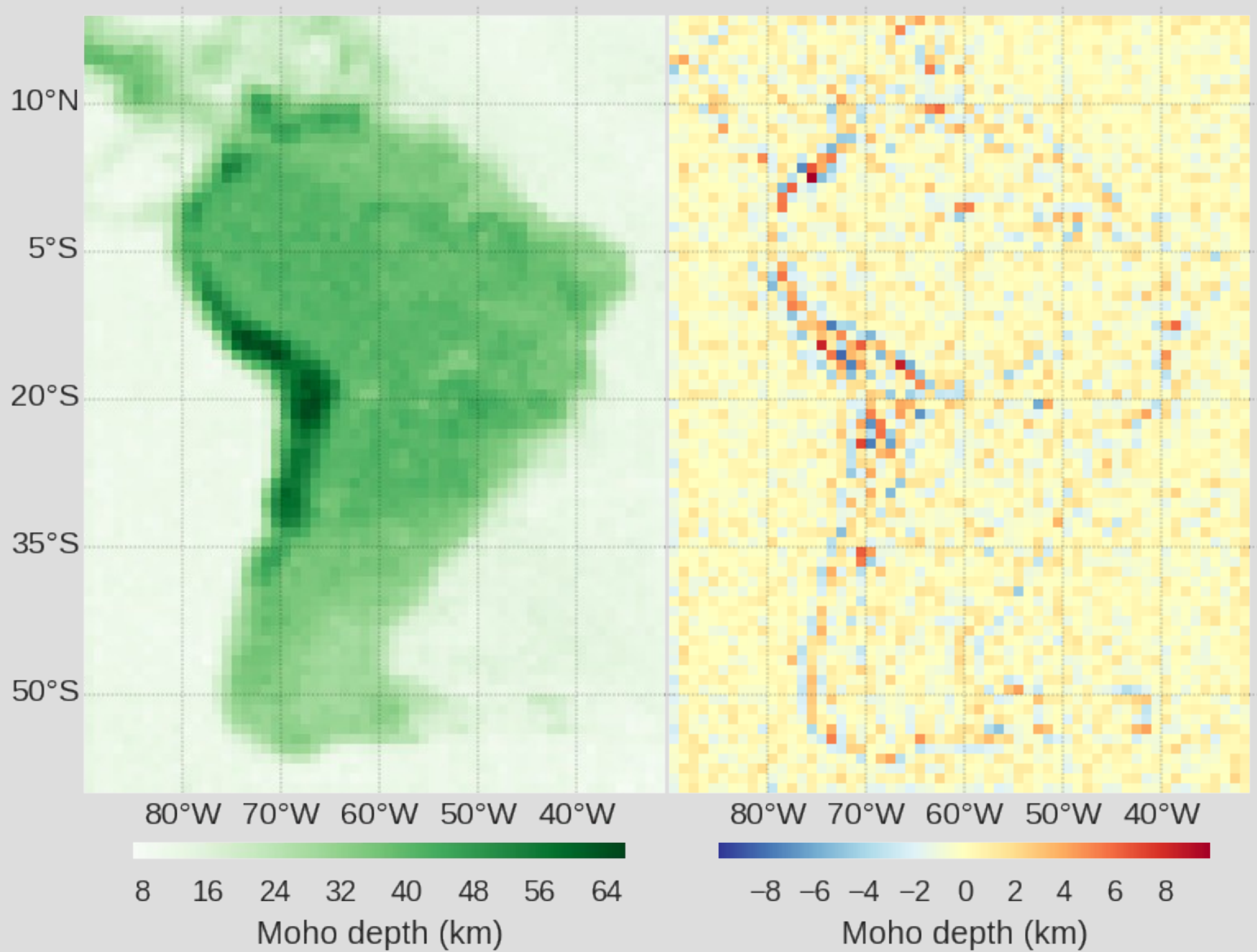
$$\Delta \rho = 350$$

$$h_{ref} = 30$$



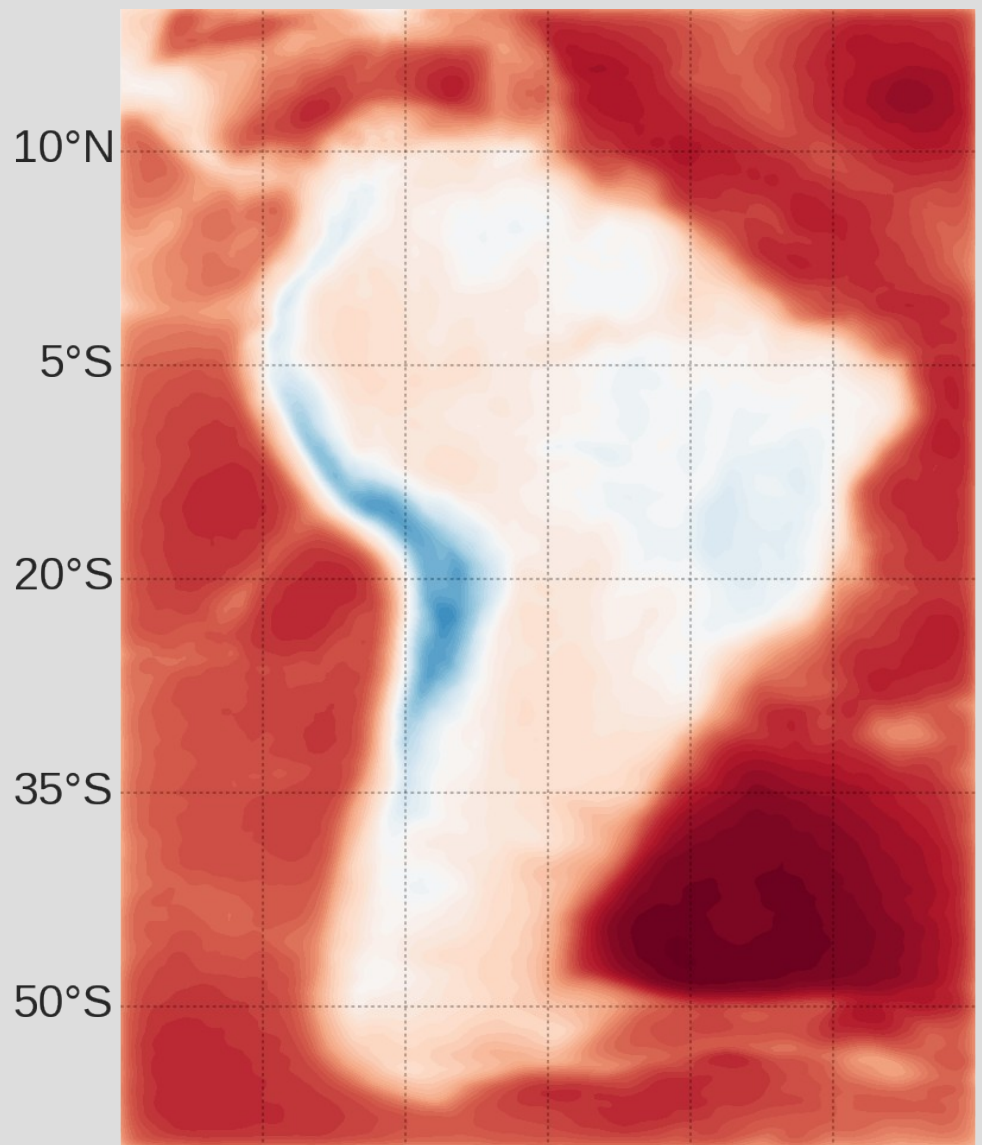


Contorno:  
Predito  
Cor:  
Observado



Resultados

Am. do Sul

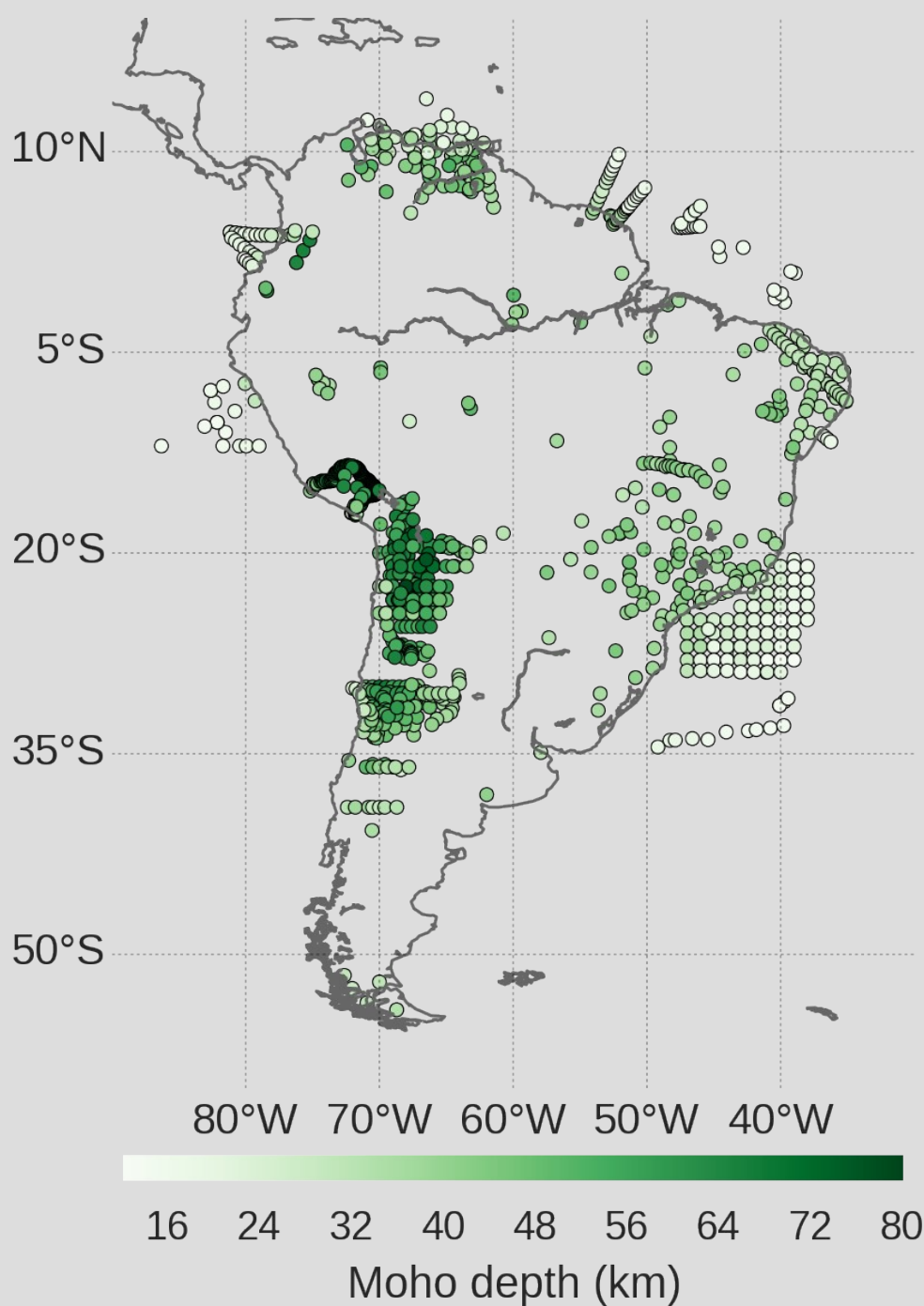


80°W 70°W 60°W 50°W 40°W

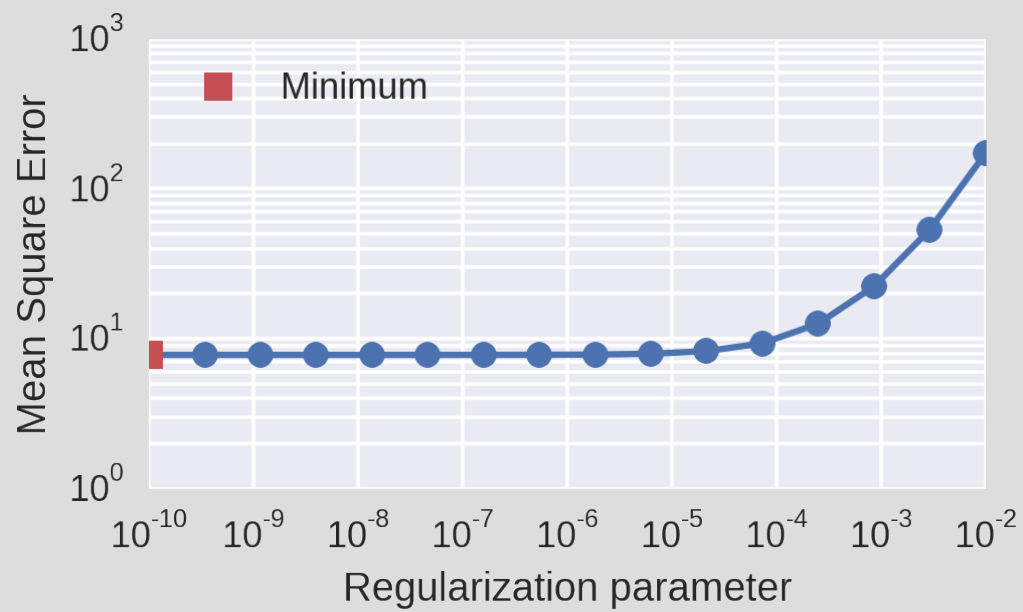
-270 -180 -90 0 90 180 270 360 450

mGal

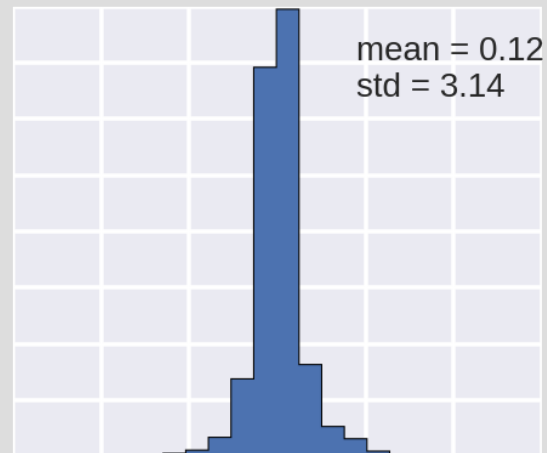
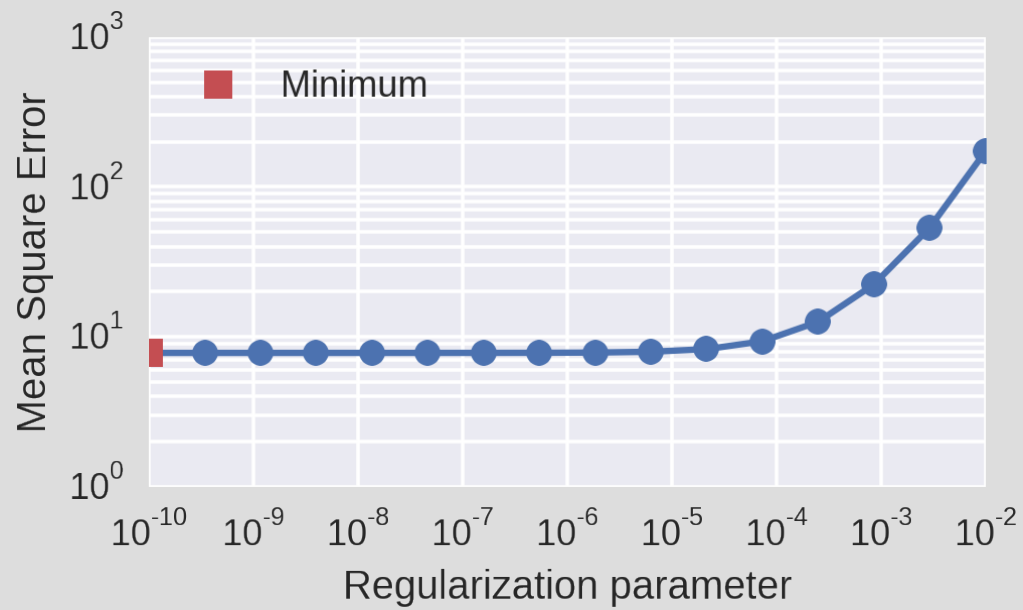
Anomalia  
Bouguer  
sem  
sedimentos

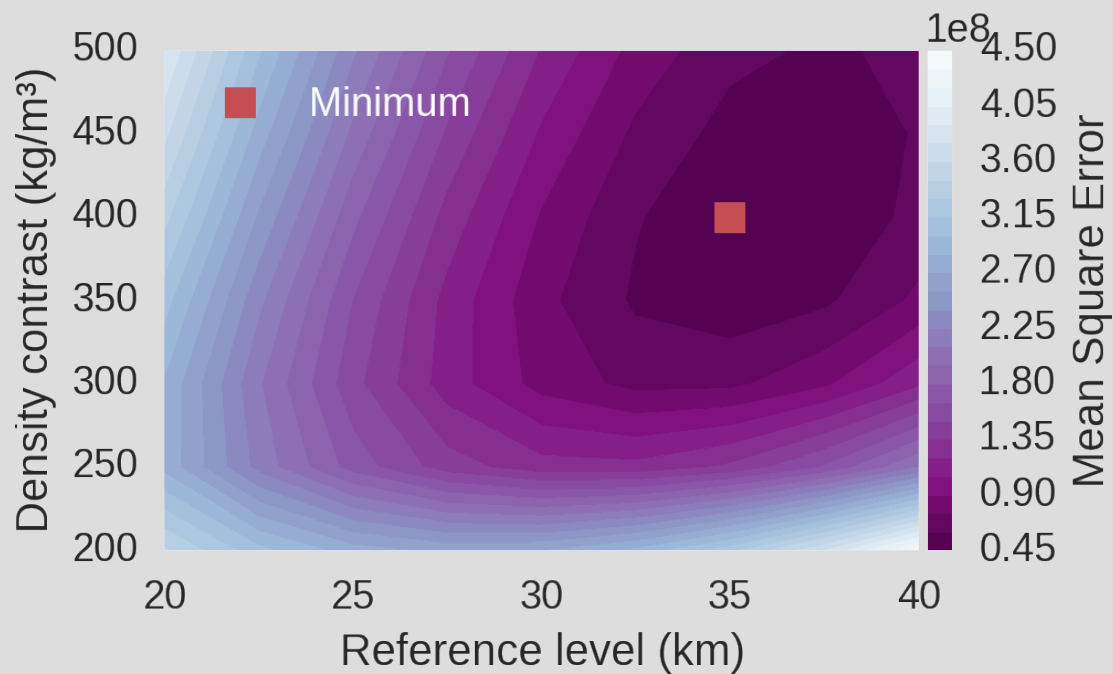
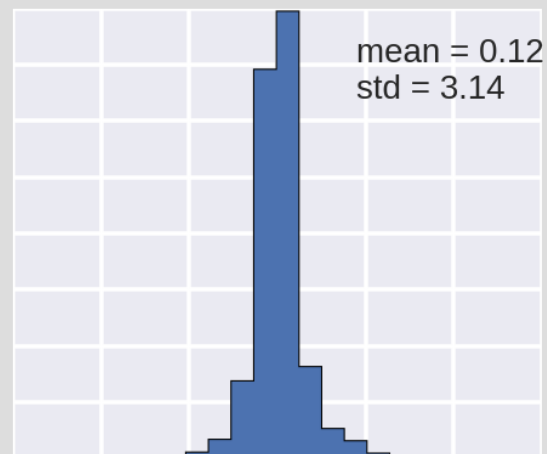
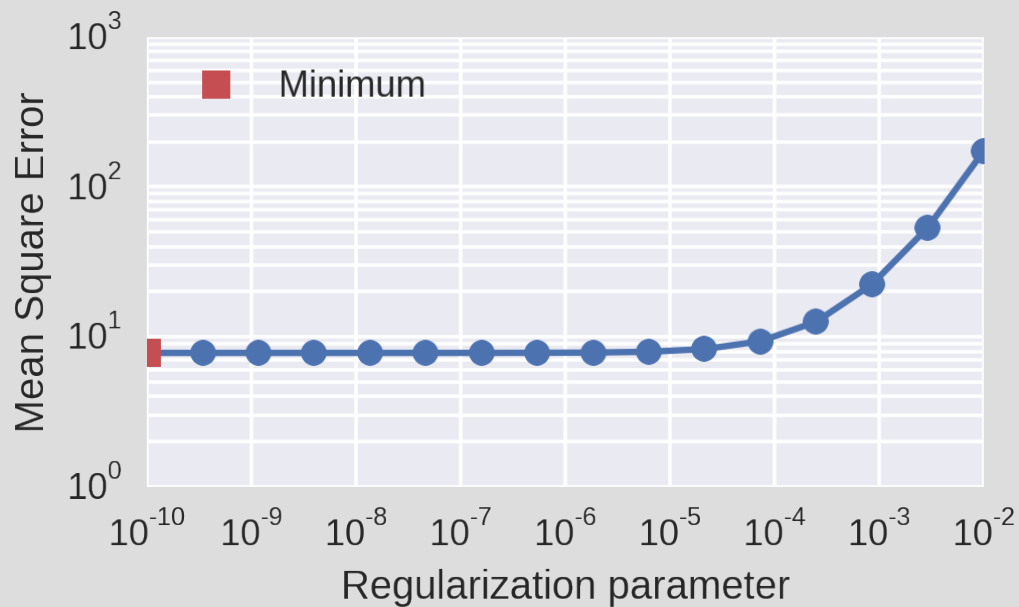


vínculos  
sísmica  
Assumpção  
et al. (2012)

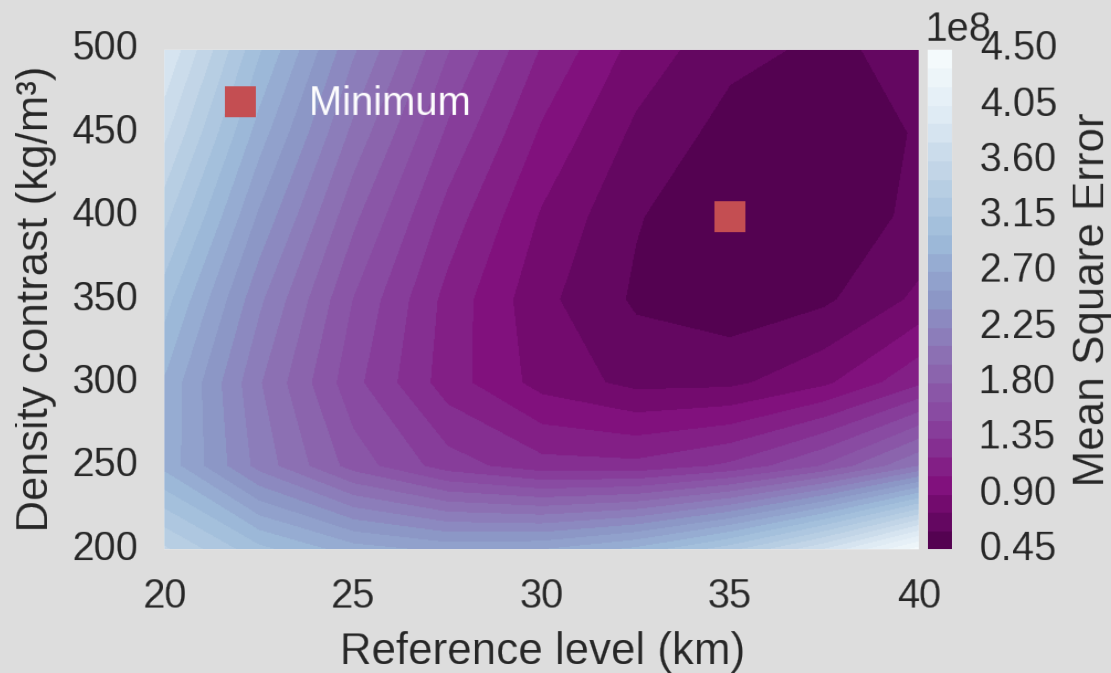
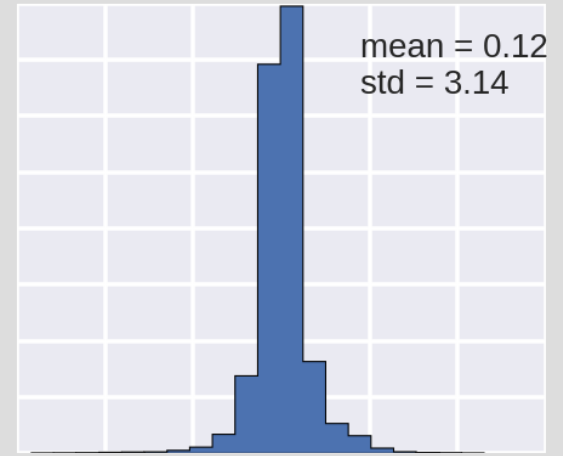
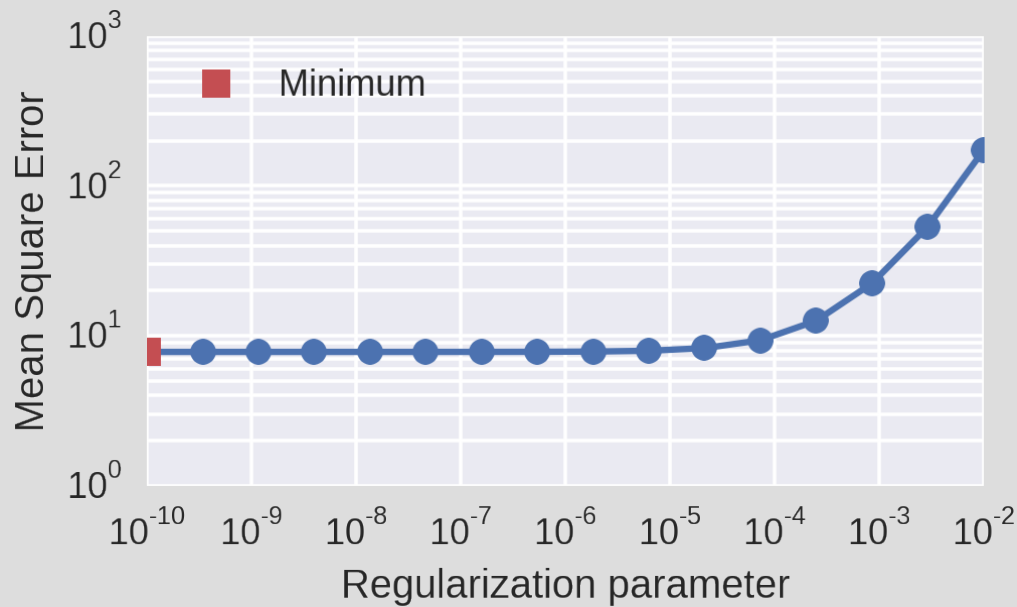








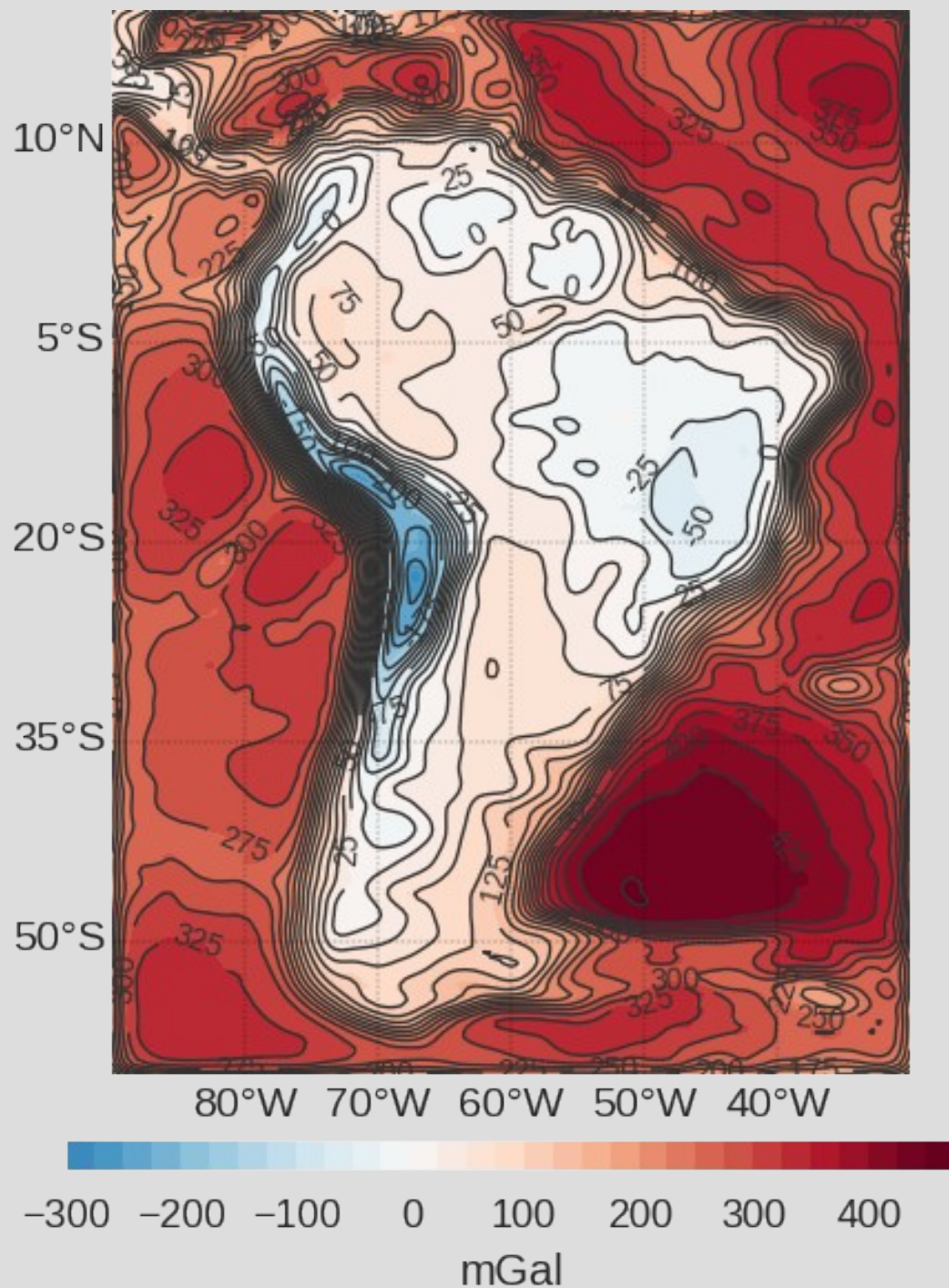




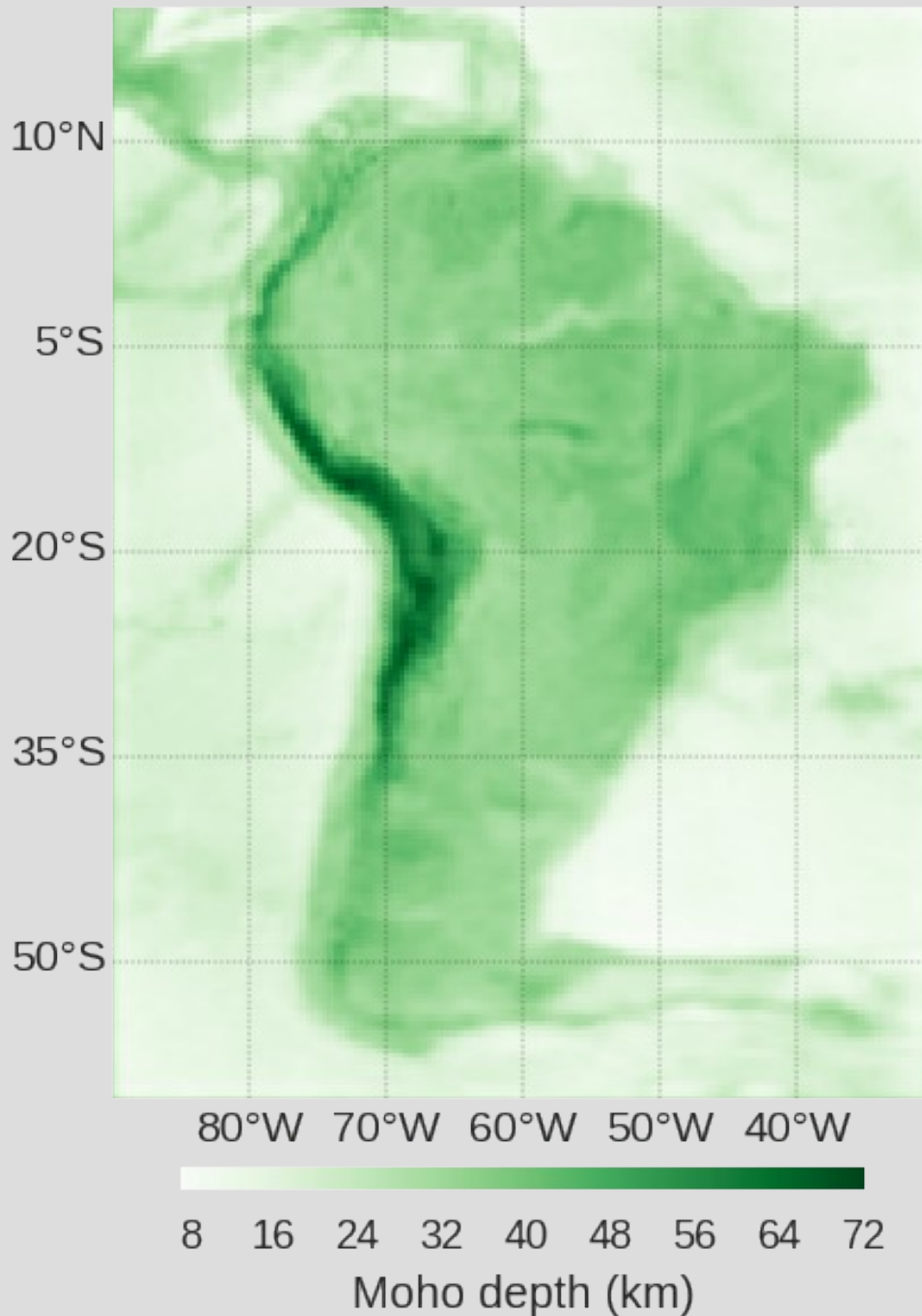
estimados

$$\Delta \rho = 400$$

$$h_{ref} = 35$$

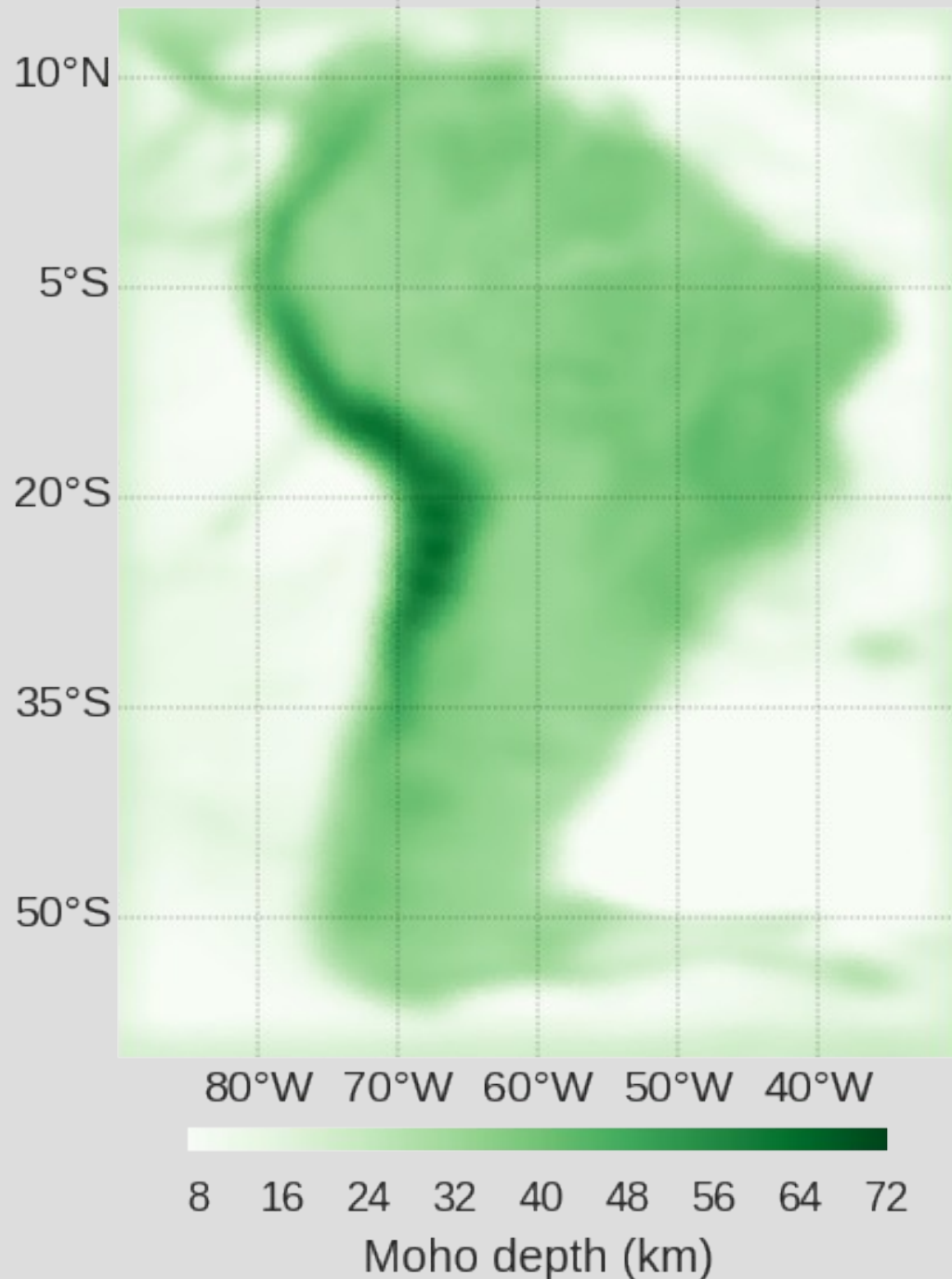


Contorno:  
Predito  
Cor:  
observado

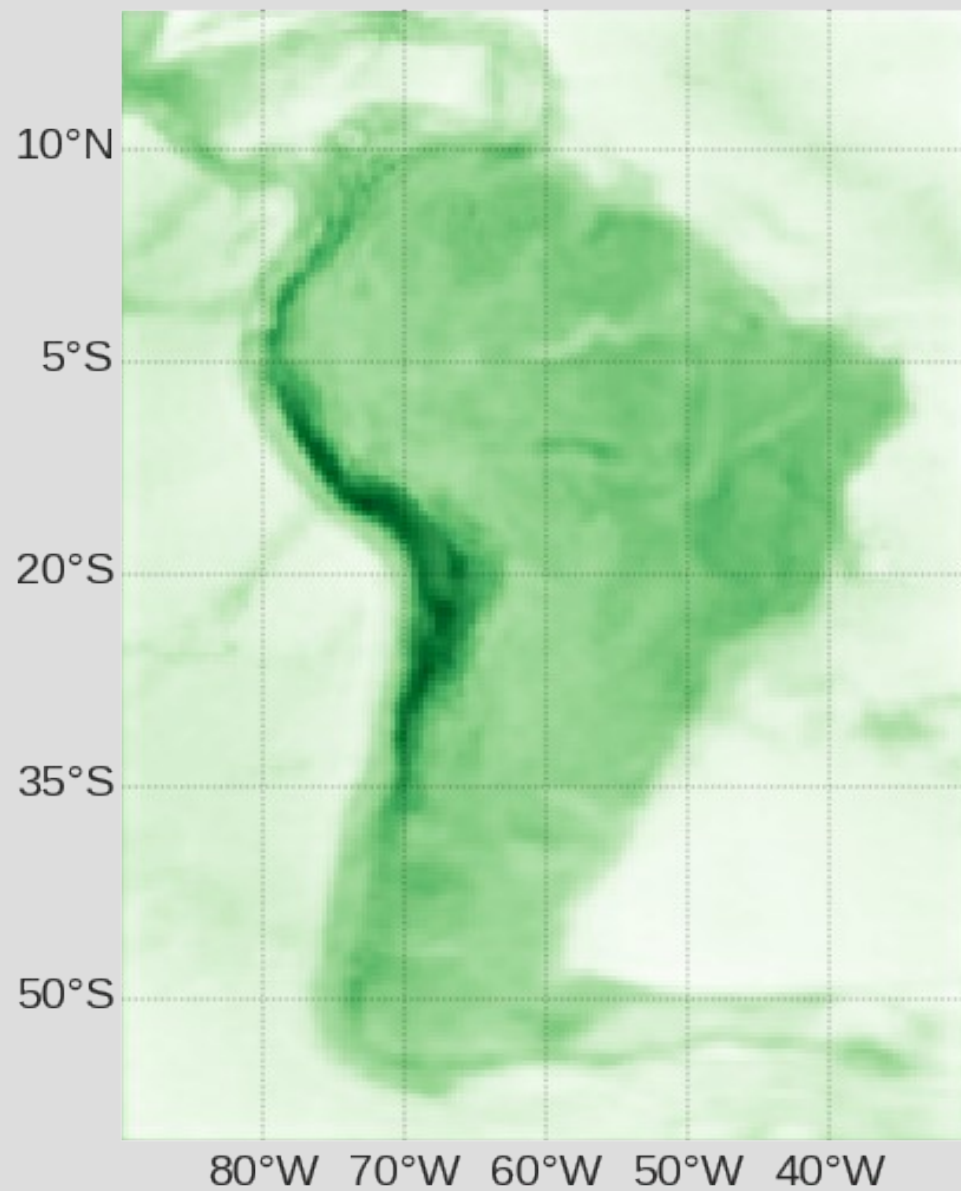


estimativa  
da Moho

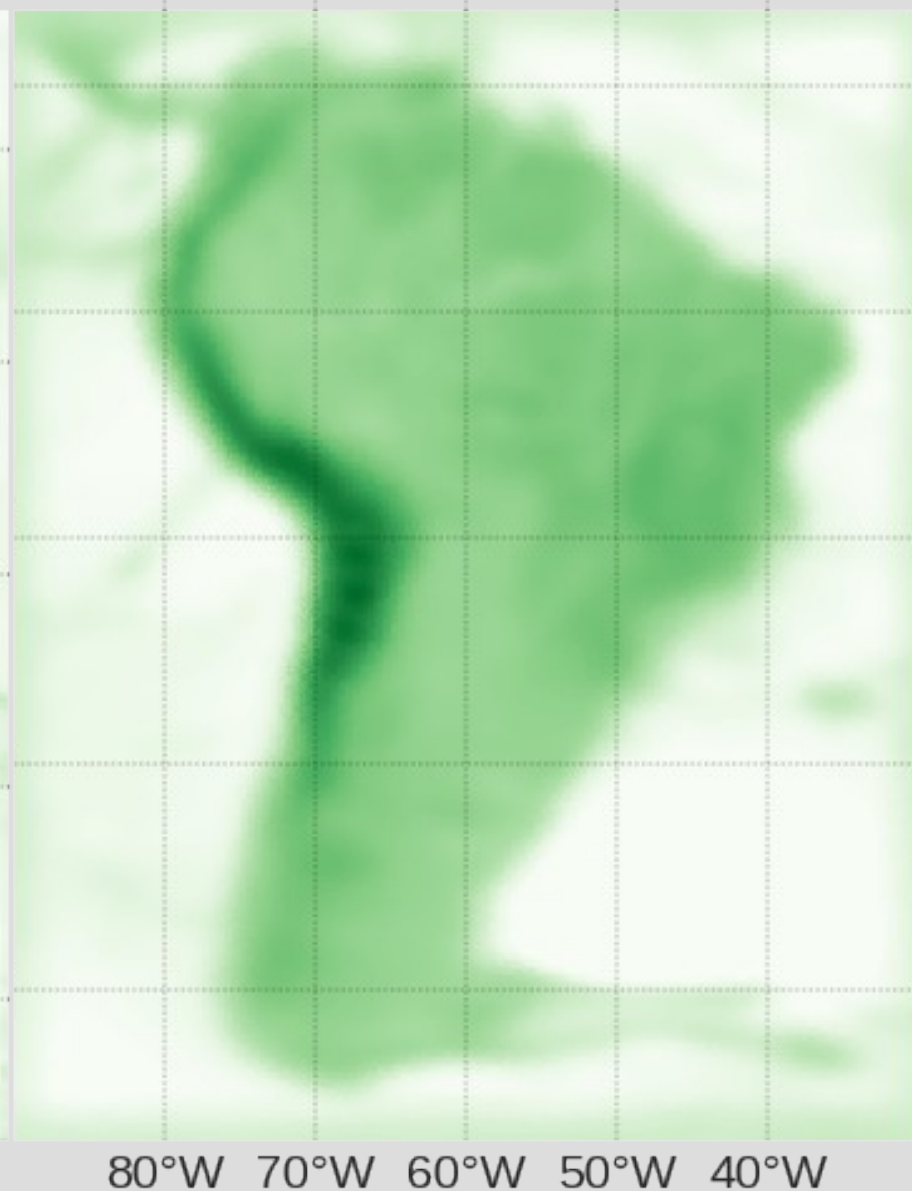
# solução anterior van der Meijde et al. (2013)



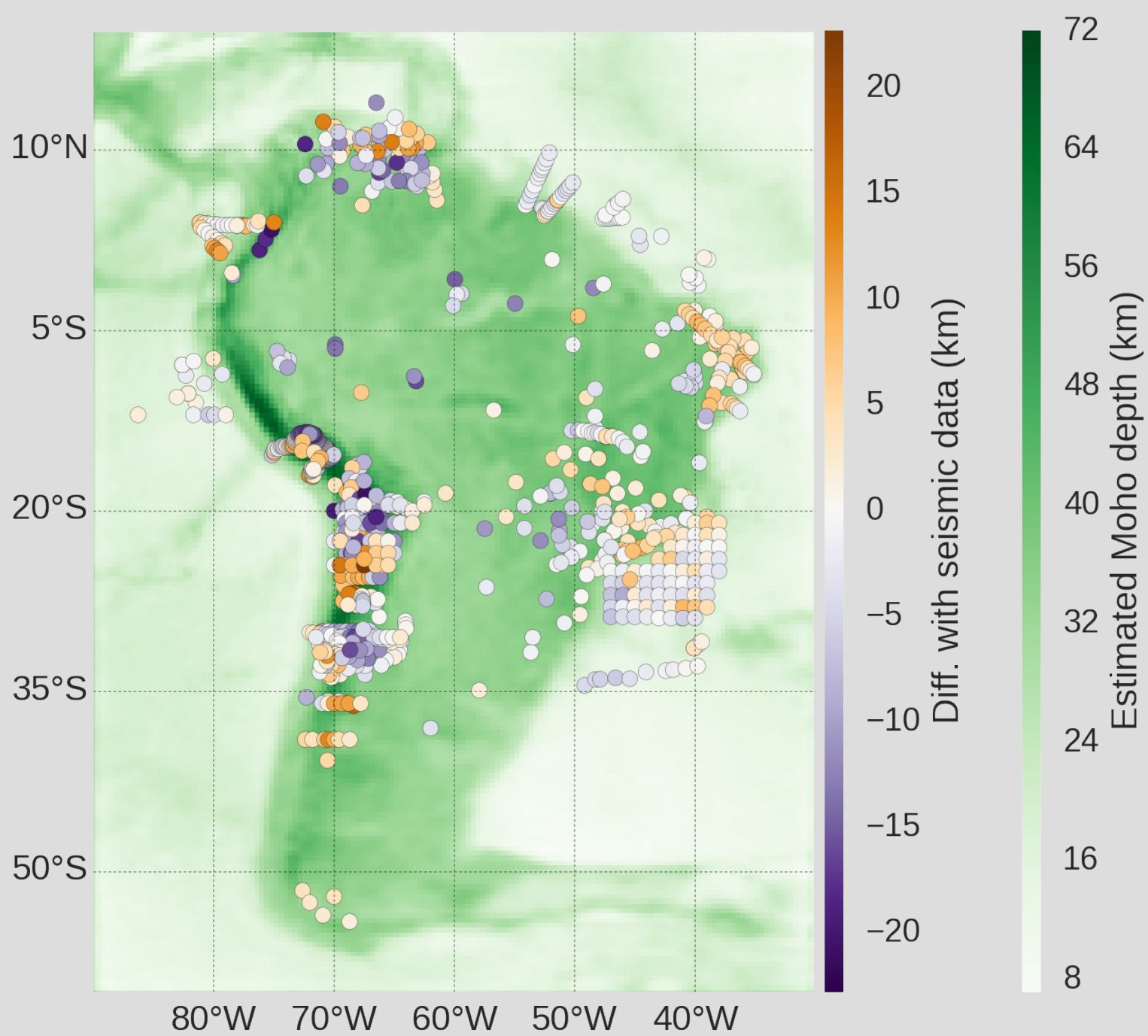


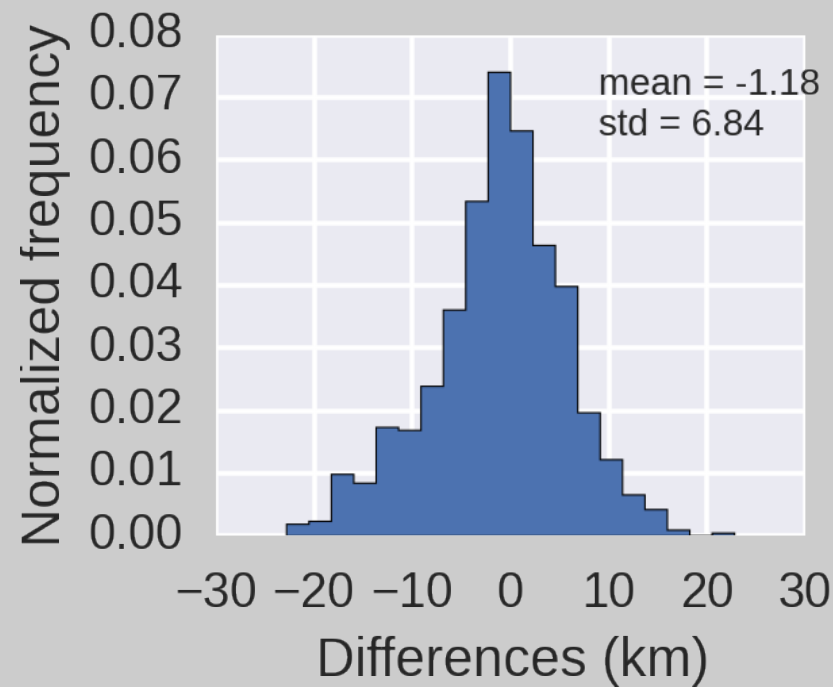
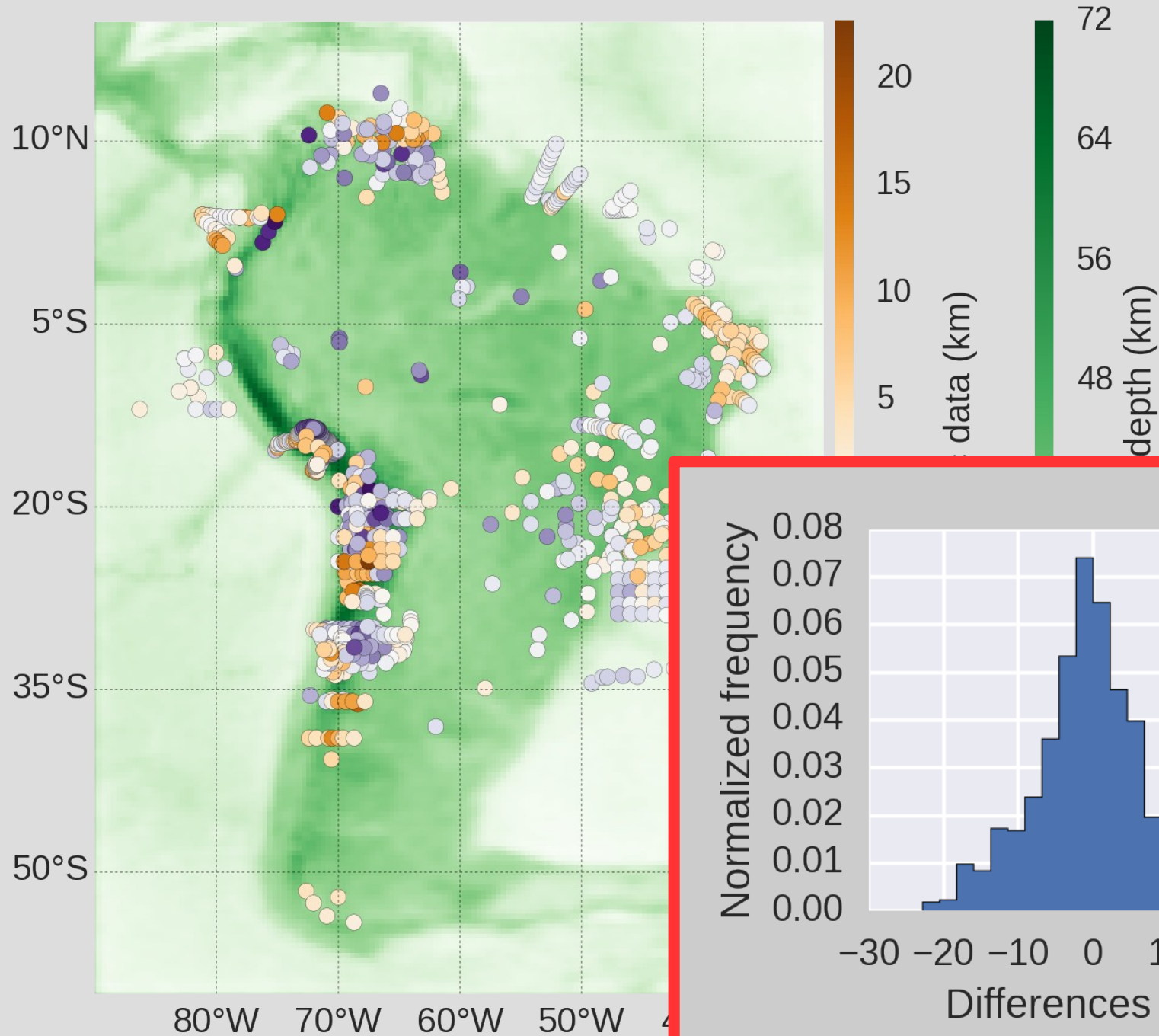


8 16 24 32 40 48 56 64 72  
Moho depth (km)



8 16 24 32 40 48 56 64 72  
Moho depth (km)





# Conclusões



# Novo método

Baseado em Bott (1960) e Silva et al. (2014)

# Novo método

Baseado em Bott (1960) e Silva et al. (2014)

Tesseroides

# Novo método

Baseado em Bott (1960) e Silva et al. (2014)

Tesseroides

Gauss-Newton + Regularização

# Novo método

Baseado em Bott (1960) e Silva et al. (2014)

Tesseroides

Gauss-Newton + Regularização

Matrizes esparsas

# Novo método

Baseado em Bott (1960) e Silva et al. (2014)

Tesseroides

Gauss-Newton + Regularização

Matrizes esparsas

Validação cruzada  $\longrightarrow \mu \quad \Delta \rho \quad h_{\text{ref}}$

# Moho América do Sul

Compatível com van der Meijde et al. (2013)

# Moho América do Sul

Compatível com van der Meijde et al. (2013)

Correções (topo e sedimentos) mais apropriadas

# Moho América do Sul

Compatível com van der Meijde et al. (2013)

Correções (topo e sedimentos) mais apropriadas

~6 km stddev com sísmica



# Moho América do Sul

Compatível com van der Meijde et al. (2013)

Correções (topo e sedimentos) mais apropriadas

~6 km stddev com sísmica

Diferença grande concentrada nos Andes

# Moho América do Sul

Compatível com van der Meijde et al. (2013)

Correções (topo e sedimentos) mais apropriadas

~6 km stddev com sísmica

Diferença grande concentrada nos Andes

Resolução maior pode ser falsa

# Moho América do Sul

Compatível com van der Meijde et al. (2013)

Correções (topo e sedimentos) mais apropriadas

~6 km stddev com sísmica

Diferença grande concentrada nos Andes

Resolução maior pode ser falsa

Depende de correções corretas

# Atividades

## 2014-2015

# artigos

*Geophysics* | (submetido)

“Tesseroids: forward modeling of gravitational fields in spherical coordinates”

*Journal of Applied Geophysics* | (submetido)

“How two gravity-gradient inversion methods can be used to reveal different geologic features of ore deposit - a case study from the Quadrilátero Ferrífero (Brazil)”

*Nonlinear Processes in Geophysics* | doi:[10.5194/npg-22-215-2015](https://doi.org/10.5194/npg-22-215-2015)

“Estimation of the total magnetization direction of approximately spherical bodies”

# artigos 1<sup>o</sup> da tese



*Geophysics* | (submetido)

“Tesseroids: forward modeling of gravitational fields in spherical coordinates”

*Journal of Applied Geophysics* | (submetido)

“How two gravity-gradient inversion methods can be used to reveal different geologic features of ore deposit - a case study from the Quadrilátero Ferrífero (Brazil)”

*Nonlinear Processes in Geophysics* | doi:[10.5194/npg-22-215-2015](https://doi.org/10.5194/npg-22-215-2015)

“Estimation of the total magnetization direction of approximately spherical bodies”

Implementação inversão

Testes sintético

Aplicação América do Sul

Escrita 2º artigo

Submissão 2º artigo

Entrega tese

Defesa

Implementação inversão

Testes sintético

Aplicação América do Sul

→ feito

Escrita 2º artigo

Submissão 2º artigo

Entrega tese

Defesa



Implementação inversão

Testes sintético

Aplicação América do Sul

→ feito

Escrita 2º artigo

Submissão 2º artigo

Entrega tese

Defesa

Implementação inversão

Testes sintético

Aplicação América do Sul

→ feito

Escrita 2º artigo

Submissão 2º artigo

Entrega tese

Defesa

} (~ final Out)

Implementação inversão

Testes sintético

Aplicação América do Sul

→ feito

Escrita 2º artigo

Submissão 2º artigo

Entrega tese

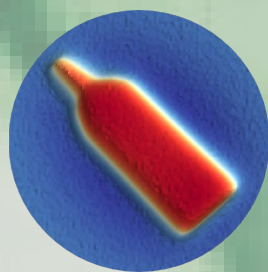
Defesa

} (~ final Out)

} (~ Nov-Dez)

[github.com/leouieda/seminario-on-2015](https://github.com/leouieda/seminario-on-2015)

[pinga-lab.org](http://pinga-lab.org)



# PINGA

Grupo de problemas inversos en geofísica